

УДК 511.3

В. В. Зудилин

**Об иррациональности значений дзета-функции Римана**

Обобщается конструкция Ривоалля, позволяющая строить линейные приближающие формы от 1 и значений дзета-функции  $\zeta(s)$  только в нечетных точках. Доказываются теоремы об иррациональности числа  $\zeta(s)$  для некоторого нечетного  $s$  из заданного отрезка натурального ряда; с помощью усовершенствования арифметических оценок усиливаются оригинальные результаты Ривоалля о линейной независимости чисел  $\zeta(s)$ .

Библиография: 28 наименований.

**Введение**

Изучение арифметической природы значений дзета-функции Римана

$$\zeta(s) = \sum_{n=1}^{\infty} \frac{1}{n^s}$$

в целых точках  $s > 1$  является одним из самых притягательных направлений современной теории чисел. Несмотря на обманчивую простоту и более чем двухвековую историю этой проблемы, полученные результаты немногочисленны. Первым продвижением в этом направлении бесспорно является формула Эйлера

$$\zeta(s) = -\frac{(2\pi i)^s B_s}{2s!}, \quad s = 2, 4, 6, \dots,$$

выражающая значения дзета-функции в четных точках в терминах  $\pi \approx 3.1415926$  и чисел Бернулли  $B_s \in \mathbb{Q}$ , которые задаются производящей функцией

$$\frac{t}{e^t - 1} = 1 - \frac{t}{2} + \sum_{s=2}^{\infty} B_s \frac{t^s}{s!}, \quad B_s = 0 \text{ для нечетных } s \geq 3.$$

В 1882 г. Линдеманн доказал трансцендентность числа  $\pi$  и, тем самым, трансцендентность  $\zeta(s)$  для четных  $s$ .

Проблема иррациональности значений дзета-функции в нечетных точках казалась непреступной вплоть до 1978 г., когда Апери [1] предъявил последовательность рациональных приближений, доказывающих иррациональность числа  $\zeta(3)$ .

---

Работа выполнена при частичной поддержке фонда INTAS и Российского фонда фундаментальных исследований (грант № IR-97-1904).

**ТЕОРЕМА АПЕРИ.** Число  $\zeta(3)$  иррационально.

История этого открытия и строгое математическое обоснование наблюдений Апера изложены в [2]. В последующие годы феномен последовательности Апера был неоднократно переосмыслен с точки зрения различных аналитических методов теории чисел (см. [3]–[8]); новые подходы позволили усилить результат Апера количественно – получить “хорошую” меру иррациональности числа  $\zeta(3)$  (последние этапы соревнования в этом направлении – работы [9], [10]).

К сожалению, естественные обобщения конструкции Апера приводят к линейным формам, содержащим значения дзета-функции как в нечетных, так и в четных точках (интерес к которым заметно угас после результата Эйлера–Линдеманна); это обстоятельство не позволяло получить результаты об иррациональности  $\zeta(s)$  для нечетных  $s \geq 5$ . Интересные попытки подступиться к этой проблеме содержатся в препринтах [11] и [12].

Наконец, в 2000 г. Ривоаль [13] наделил вспомогательную рациональную функцию симметрией и построил линейные формы, содержащие значения дзета-функции только в нечетных точках  $s > 1$ .

**ТЕОРЕМА РИВОАЛЯ.** Среди чисел  $\zeta(3), \zeta(5), \zeta(7), \dots$  имеется бесконечно много иррациональных. Более точно, для размерности  $\delta(a)$  пространств, натянутых над  $\mathbb{Q}$  на числа  $1, \zeta(3), \zeta(5), \dots, \zeta(a-2), \zeta(a)$ , где  $a$  нечетно, справедлива оценка

$$\delta(a) \geq \frac{\log a}{1 + \log 2} (1 + o(1)), \quad a \rightarrow \infty.$$

В настоящей работе мы обобщаем конструкцию Ривоала [13] и доказываем следующие результаты.

**ТЕОРЕМА 0.1.** В каждом числовом наборе

$$\begin{aligned} &\{\zeta(5), \zeta(7), \zeta(9), \zeta(11), \zeta(13), \zeta(15), \zeta(17), \zeta(19), \zeta(21)\}, \\ &\{\zeta(7), \zeta(9), \dots, \zeta(35), \zeta(37)\}, \quad \{\zeta(9), \zeta(11), \dots, \zeta(51), \zeta(53)\} \end{aligned} \tag{0.1}$$

имеется по крайней мере одно иррациональное число<sup>1</sup>.

**ТЕОРЕМА 0.2.** Для каждого нечетного  $b \geq 1$  среди чисел

$$\zeta(b+2), \zeta(b+4), \dots, \zeta(8b-3), \zeta(8b-1)$$

имеется по крайней мере одно иррациональное.

**ТЕОРЕМА 0.3.** Существуют нечетные  $a_1 \leq 145$  и  $a_2 \leq 1971$  такие, что числа  $1, \zeta(3), \zeta(a_1), \zeta(a_2)$  линейно независимы над  $\mathbb{Q}$ .

Теорема 0.3 усиливает соответствующий результат работы [15], где установлена линейная независимость чисел  $1, \zeta(3), \zeta(a)$  для некоторого нечетного  $a \leq 169$ .

<sup>1</sup>После завершения работы над статьей автору стало известно, что Ривоаль [14] независимо получил утверждение теоремы 0.1 для первого из наборов в (0.1), используя иное обобщение конструкции из [13].

*Замечание при корректуре.* Недавно автор получил ряд уточнений теоремы 0.1 и, в частности, доказал [28], что по крайней мере одно из четырех чисел  $\zeta(5), \zeta(7), \zeta(9), \zeta(11)$  иррационально.

**ТЕОРЕМА 0.4.** Для каждого нечетного  $a \geq 3$  справедлива абсолютная оценка

$$\delta(a) > 0.395 \log a > \frac{2}{3} \cdot \frac{\log a}{1 + \log 2}. \quad (0.2)$$

Дальнейшее изложение устроено следующим образом. В § 1 описана аналитическая конструкция линейных форм от значений дзета-функции в нечетных точках; в § 2–4 исследуется асимптотика линейных форм, их коэффициентов и знаменателей соответственно. Наконец, в § 5 приводятся подробные доказательства результатов; основным ингредиентом в доказательстве теорем 0.3, 0.4 (так же, как и в работе [13]) является следующий частный случай теоремы Нестеренко из [16].

**КРИТЕРИЙ ЛИНЕЙНОЙ НЕЗАВИСИМОСТИ.** Пусть для заданного набора вещественных чисел  $\theta_0, \theta_1, \dots, \theta_m$ ,  $m \geq 1$ , существуют последовательность линейных форм

$$I_n = A_{0,n}\theta_0 + A_{1,n}\theta_1 + \cdots + A_{m,n}\theta_m, \quad n = 1, 2, \dots,$$

с целыми коэффициентами и числа  $\alpha > 0$ ,  $\beta > 0$  такие, что

$$\log |I_n| = -n\alpha + o(n), \quad \log \max_{0 \leq j \leq m} \{|A_{j,n}| \} \leq n\beta + o(n)$$

при  $n \rightarrow \infty$ . Тогда

$$\dim_{\mathbb{Q}} (\mathbb{Q}\theta_0 + \mathbb{Q}\theta_1 + \cdots + \mathbb{Q}\theta_m) \geq 1 + \frac{\alpha}{\beta}.$$

Отметим, что обоснование теорем 0.1–0.4 опирается на метод перевала и следует схеме доказательства теоремы Апери из [8]. Мы также считаем необходимым указать на диссертацию [17], в которой с помощью метода перевала были получены арифметические результаты для значений полилогарифмов; работа [17] послужила связующим звеном между нашими эмпирическими наблюдениями и строгим обоснованием результатов в § 2. Усовершенствование арифметических оценок (знаменателей числовых линейных форм) в духе [18], [9], [10], приводимое в § 4, позволило уточнить оценку снизу для  $\delta(a)$  в теоремах 0.3, 0.4 при малых значениях  $a$ . Наконец, в § 3 для коэффициентов линейных форм получена не только оценка сверху, но и асимптотика их роста.

Основные результаты настоящей работы анонсированы в сообщении [19].

Автор искренне благодарен профессору Ю. В. Нестеренко за постоянное внимание к работе и ряд ценных указаний по ее усовершенствованию.

## § 1. Аналитическая конструкция

В этом параграфе мы изложим аналитическую конструкцию, позволяющую строить “хорошие” линейные формы с рациональными коэффициентами от значений дзета-функции в нечетных точках.

Зафиксируем целые положительные параметры  $a, b, r, 2rb \leq a$  и  $a + b$  четно, и для каждого целого положительного  $n$  рассмотрим рациональную функцию

$$R(t) = R_n(t) := \frac{((t \pm (n+1)) \cdots (t \pm (n+2rn)))^b}{(t(t \pm 1) \cdots (t \pm n))^a} \cdot (2n)!^{a-2rb}. \quad (1.1)$$

Здесь и далее запись  $(t \pm l)$  означает, что в произведении (сумме или множестве) участвуют одновременно множители (слагаемые или элементы соответственно)  $t - l$  и  $t + l$ . Функции (1.1) поставим в соответствие число – бесконечную сумму

$$I = I_n := \sum_{t=n+1}^{\infty} \frac{1}{(b-1)!} \frac{d^{b-1}R(t)}{dt^{b-1}}. \quad (1.2)$$

Как несложно заметить, суммирование в (1.2) происходит только по целым  $t > n + 2rn$ . Ряд в правой части (1.2) сходится абсолютно, так как степени числителя и знаменателя рациональной функции (1.1) равны соответственно  $4rbn$  и  $a(2n+1) \geq 4rbn + a \geq 4rbn + 2$ , значит,

$$R(t) = O\left(\frac{1}{t^2}\right) \quad \text{и} \quad \frac{d^{b-1}R(t)}{dt^{b-1}} = O\left(\frac{1}{t^2}\right), \quad t \rightarrow \infty. \quad (1.3)$$

Интегральное представление суммы (1.2) и применение метода Лапласа позволяют вычислить величину

$$\varkappa = \overline{\lim}_{n \rightarrow \infty} \frac{\log |I_n|}{n} > -\infty \quad (1.4)$$

(подробности см. далее, в § 2) подобно тому, как это проделалось в работах [8], [17].

**ЛЕММА 1.1.** Для каждого  $n = 1, 2, \dots$  число (1.2) является линейной формой от 1 и значений дзета-функции в нечетных точках  $s$ ,  $b < s < a + b$ :

$$I = \sum_{\substack{s \text{ нечетно} \\ b < s < a+b}} \bar{A}_s \zeta(s) - \bar{A}_0. \quad (1.5)$$

**ДОКАЗАТЕЛЬСТВО.** Представляя функцию (1.1) в виде суммы простейших дробей:

$$R(t) = \sum_{k=-n}^n \left( \frac{A_{k,a}}{(t+k)^a} + \cdots + \frac{A_{k,2}}{(t+k)^2} + \frac{A_{k,1}}{t+k} \right), \quad (1.6)$$

отметим, что

$$\sum_{k=-n}^n A_{k,1} = -\operatorname{Res}_{t=\infty} R(t) = 0 \quad (1.7)$$

согласно (1.3). Из (не)четности функции (1.1), именно

$$R(-t) = (-1)^a R(t), \quad (1.8)$$

и единственности разложения (1.6) следуют соотношения

$$A_{k,j} = (-1)^{a-j} A_{-k,j}, \quad k = 0, \pm 1, \dots, \pm n, \quad j = 1, 2, \dots, a;$$

поэтому

$$\sum_{k=-n}^n A_{k,j} = (-1)^{a-j} \sum_{k=-n}^n A_{k,j} = 0, \quad \text{если } a-j \text{ нечетно,} \quad j = 2, \dots, a. \quad (1.9)$$

Подставляя разложение (1.6) в (1.2), находим

$$\begin{aligned} (-1)^{b-1} I &= \sum_{t=n+1}^{\infty} \sum_{k=-n}^n \left( \binom{a+b-2}{b-1} \frac{A_{k,a}}{(t+k)^{a+b-1}} \right. \\ &\quad \left. + \binom{a+b-3}{b-1} \frac{A_{k,a-1}}{(t+k)^{a+b-2}} + \dots + \binom{b}{b-1} \frac{A_{k,2}}{(t+k)^{b+1}} + \frac{A_{k,1}}{(t+k)^b} \right), \end{aligned}$$

откуда после несложных преобразований получаем

$$I = \bar{A}_{a+b-1} \zeta(a+b-1) + \bar{A}_{a+b-2} \zeta(a+b-2) + \dots + \bar{A}_b \zeta(b) - \bar{A}_0, \quad (1.10)$$

где

$$\bar{A}_j = (-1)^{b-1} \binom{j-1}{b-1} \sum_{k=-n}^n A_{k,j-b+1}, \quad j = b, b+1, \dots, a+b-1, \quad (1.11)$$

$$\bar{A}_0 = (-1)^{b-1} \sum_{k=-n}^n \sum_{l=1}^{k+n} \left( \binom{a+b-2}{b-1} \frac{A_{k,a}}{l^{a+b-1}} + \dots + \binom{b}{b-1} \frac{A_{k,2}}{l^{b+1}} + \frac{A_{k,1}}{l^b} \right). \quad (1.12)$$

Согласно (1.7) выполнено  $\bar{A}_b = 0$ , так что выражение в правой части (1.10) определено корректно даже в случае  $b = 1$ ; кроме того, согласно (1.9) и четности числа  $a+b$  имеет место равенство  $\bar{A}_j = 0$ , если  $j \geq b$  четно. Таким образом, формула (1.10) означает, что  $I$  является линейной формой от 1 и значений дзета-функции в нечетных точках  $s$ ,  $b+1 \leq s \leq a+b-1$ , что и требовалось доказать.

Для нахождения знаменателей линейных форм (1.2) воспользуемся следующим утверждением.

**ЛЕММА 1.2** (ср. с [20], [13]). *Пусть для некоторого многочлена  $P(t)$  степени не выше  $n$  рациональная функция*

$$R(t) = \frac{P(t)}{(t+s)(t+s+1)\cdots(t+s+n)} \quad (1.13)$$

(в необязательно несократимом представлении) удовлетворяет условиям

$$(R(t)(t+k))|_{t=-k} \in \mathbb{Z}, \quad k = s, s+1, \dots, s+n. \quad (1.14)$$

Тогда для всех целых неотрицательных  $j$  выполнено

$$\frac{D_n^j}{j!} \frac{d^j}{dt^j} (R(t)(t+k)) \Big|_{t=-k} \in \mathbb{Z}, \quad k = s, s+1, \dots, s+n,$$

где  $D_n$  – наименьшее общее кратное чисел  $1, 2, \dots, n$ .

**ДОКАЗАТЕЛЬСТВО.** Раскладывая рациональную функцию (1.13) на простейшие дроби, получаем

$$R(t) = \sum_{l=s}^{s+n} \frac{B_l}{t+l},$$

где

$$B_l = (R(t)(t+l))|_{t=-l} \in \mathbb{Z}, \quad l = s, s+1, \dots, s+n.$$

Тогда

$$R(t)(t+k) = B_k + \sum_{\substack{l=s \\ l \neq k}}^{s+n} B_l \frac{t+k}{t+l} = B_k + \sum_{\substack{l=s \\ l \neq k}}^{s+n} B_l \left( 1 + \frac{k-l}{t+l} \right)$$

и, значит,

$$\frac{1}{j!} \frac{d^j}{dt^j} (R(t)(t+k))|_{t=-k} = (-1)^j \sum_{\substack{l=s \\ l \neq k}}^{s+n} \frac{B_l(k-l)}{(t+l)^{j+1}}|_{t=-k} = - \sum_{\substack{l=s \\ l \neq k}}^{s+n} \frac{B_l}{(k-l)^j}.$$

Отсюда следует требуемое утверждение.

**ЗАМЕЧАНИЕ 1.1.** Формулировка леммы 1.2 принадлежит Нестеренко [21]. В работе Никишина [20] доказанная лемма применялась к многочлену

$$P(t) = (t+p+1) \cdots (t+p+n)$$

для  $p-s \in \mathbb{Z}$  и  $p+n < s$  или  $p \geq s+n$ ; Ривоаль заметил [13], что условиям (1.14) удовлетворяет также многочлен  $P(t) = n!$ . В каждом из этих случаев числа  $B_k$ ,  $k = s, s+1, \dots, s+n$ , являются биномиальными коэффициентами, так что проверка включений (1.14) не составляет труда.

Как несложно заметить, рациональная функция (1.1) может быть представлена в виде произведения функций

$$F(t) = F_{n,m}(t) := \frac{(t \pm (m+1)) \cdots (t \pm (m+2n))}{(t(t \pm 1) \cdots (t \pm n))^2}, \quad n \leq m, \quad (1.15)$$

$$H(t) = H_n(t) := \frac{(2n)!}{t(t \pm 1) \cdots (t \pm n)} \quad (1.16)$$

(см. формулу (1.22) далее).

**ЛЕММА 1.3.** Для функций (1.15), (1.16) выполнены включения

$$\frac{D_{2n}^j}{j!} \frac{d^j}{dt^j} (F(t)(t+k)^2)|_{t=-k} \in \mathbb{Z}, \quad k = 0, \pm 1, \dots, \pm n, \quad j = 0, 1, 2, \dots, \quad (1.17)$$

$$\frac{D_{2n}^j}{j!} \frac{d^j}{dt^j} (H(t)(t+k))|_{t=-k} \in \mathbb{Z}, \quad k = 0, \pm 1, \dots, \pm n, \quad j = 0, 1, 2, \dots, \quad (1.18)$$

где  $D_{2n}$  – наименьшее общее кратное чисел  $1, 2, \dots, 2n$ .

**ДОКАЗАТЕЛЬСТВО.** Включения (1.18) следуют из леммы 1.2, примененной к рациональной функции (1.16). Чтобы доказать включения (1.17), необходимо воспользоваться леммой 1.2 для рациональных функций

$$\begin{aligned} R_-(t) &= \frac{(t - (m+1)) \cdots (t - (m+2n))}{t(t \pm 1) \cdots (t \pm n)}, \\ R_+(t) &= \frac{(t + (m+1)) \cdots (t + (m+2n))}{t(t \pm 1) \cdots (t \pm n)} \end{aligned} \quad (1.19)$$

и правилом Лейбница для  $j$ -й производной произведения  $R_-(t)R_+(t) = F(t)$ . При этом условия (1.14) для каждой из рациональных функций в (1.16), (1.19) действительно выполнены, так как

$$\begin{aligned} (H(t)(t+k))|_{t=-k} &= (-1)^{n+k} \frac{(2n)!}{(n+k)!(n-k)!} = (-1)^{n+k} \binom{2n}{n+k} \in \mathbb{Z}, \\ (R_-(t)(t+k))|_{t=-k} &= \binom{m+2n+k}{2n} \cdot (-1)^{n+k} \binom{2n}{n+k} \in \mathbb{Z}, \\ (R_+(t)(t+k))|_{t=-k} &= \binom{m+2n-k}{2n} \cdot (-1)^{n+k} \binom{2n}{n+k} \in \mathbb{Z} \end{aligned}$$

для всех  $k = 0, \pm 1, \dots, \pm n$ . Тем самым лемма доказана.

Всюду в дальнейшем под *знаменателем*  $\text{den}(I)$  линейной формы  $I = A_0 + A_1\theta_1 + \cdots + A_m\theta_m$  понимаем наименьшее *рациональное* (не обязательно целое)  $D > 0$  такое, что каждое из чисел  $DA_0, DA_1, \dots, DA_m$  является целым.

**ЛЕММА 1.4.** *Коэффициенты линейной формы (1.5) удовлетворяют включениям*

$$D_{2n}^{a+b-1-s} \bar{A}_s \in \mathbb{Z}, \quad (1.20)$$

где  $s = 0$  или  $s$  нечетно,  $b < s < a+b$ ; поэтому  $\text{den}(I_n)$  является делителем  $D_{2n}^{a+b-1}$  и

$$\overline{\lim}_{n \rightarrow \infty} \frac{\log \text{den}(I_n)}{n} \leqslant \lim_{n \rightarrow \infty} \frac{\log D_{2n}^{a+b-1}}{n} = 2(a+b-1). \quad (1.21)$$

**ДОКАЗАТЕЛЬСТВО.** Для определения коэффициентов в разложении (1.6) воспользуемся формулой

$$A_{k,j} = \frac{1}{(a-j)!} \frac{d^{a-j}}{dt^{a-j}} (R(t)(t+k)^a) \Big|_{t=-k}, \quad k = 0, \pm 1, \dots, \pm n, \quad j = 1, 2, \dots, a,$$

и представлением

$$R(t) = (H_n(t))^{a-2rb} (F_{n,n}(t))^b (F_{n,3n}(t))^b \cdots (F_{(2r-1)n,n}(t))^b \quad (1.22)$$

рациональной функции (1.1). Тогда включения

$$D_{2n}^{a-j} A_{k,j} \in \mathbb{Z}, \quad k = 0, \pm 1, \dots, \pm n, \quad j = 1, 2, \dots, a, \quad (1.23)$$

следуют из леммы 1.3 и правила Лейбница для дифференцирования произведения. В свою очередь, включения (1.20) получаются согласно формулам (1.11), (1.12) и соотношениям (1.23). Предельное соотношение (1.21) вытекает из формулы

$$\lim_{n \rightarrow \infty} \frac{\log D_n}{n} = 1 \quad (1.24)$$

(согласно асимптотическому закону распределения простых чисел). Лемма доказана полностью.

Таким образом, мы построили последовательность линейных форм  $I_n$ ,  $n = 1, 2, \dots$ , из которой (согласно предельному соотношению (1.4)) можно выделить бесконечную подпоследовательность ненулевых форм; при этом формы  $D_{2n}^{a+b-1} I_n$ ,  $n = 1, 2, \dots$ , имеют целочисленные коэффициенты. Это означает, что при

$$\varkappa + 2(a + b - 1) < 0 \quad (1.25)$$

среди чисел  $\zeta(s)$ , где  $s$  нечетно и  $b < s < a + b$ , имеется по крайней мере одно иррациональное. Более того, верхние оценки для коэффициентов линейных форм (1.10) в случае (1.25) позволяют получить оценку снизу для количества иррациональных чисел в указанном наборе значений дзета-функции. Поэтому следующий этап наших рассуждений посвящен вычислению величины (1.4) и асимптотики коэффициентов линейных форм (1.10) при  $n \rightarrow \infty$ .

## § 2. Асимптотическая оценка линейных форм

Нам понадобятся некоторые дополнительные свойства функции  $\operatorname{ctg} z$ .

**ЛЕММА 2.1.** *Максимальное значение вещественноненулевой неотрицательной функции  $h(y) = |\operatorname{ctg}(x + iy)|$ ,  $y \in \mathbb{R}$ , зависит только от  $x \pmod{\pi\mathbb{Z}} \in \mathbb{R}$ .*

**ДОКАЗАТЕЛЬСТВО.** Если  $x = \pi k$  для некоторого целого  $k$ , то точка  $z = x$  является (единственным) полюсом функции  $\operatorname{ctg} z$  на прямой  $\operatorname{Im} z = x$  (см. (2.6) далее). Следовательно, в этом случае абсолютный максимум функции  $h(y)$ , равный бесконечности, достигается при  $y = 0$ . Поэтому считаем далее, что  $x \notin \pi\mathbb{Z}$  и, значит,  $\cos 2x < 1$ . Имеем

$$\begin{aligned} h(y)^2 &= \left| \frac{\cos(x + iy)}{\sin(x + iy)} \right|^2 = \left| \frac{(e^{-y} + e^y) \cos x + i(e^{-y} - e^y) \sin x}{(e^{-y} - e^y) \cos x + i(e^{-y} + e^y) \sin x} \right|^2 \\ &= \frac{e^{-2y} + e^{2y} + 2 \cos 2x}{e^{-2y} + e^{2y} - 2 \cos 2x} = 1 + \frac{4 \cos 2x}{e^{-2y} + e^{2y} - 2 \cos 2x} \\ &\leqslant 1 + \frac{4|\cos 2x|}{2 - 2 \cos 2x}, \end{aligned} \quad (2.1)$$

где мы воспользовались неравенством  $Y + 1/Y \geqslant 2$  при  $Y = e^{-2y} > 0$ , которое становится равенством лишь в случае  $Y = 1$ . Оценка в правой части (2.1) зависит только от  $x \pmod{\pi\mathbb{Z}}$ , что и завершает доказательство леммы.

Определим теперь “дифференциальные итерации” котангенса:

$$\operatorname{ctg}_b z = \frac{(-1)^{b-1}}{(b-1)!} \frac{d^{b-1} \operatorname{ctg} z}{dz^{b-1}}, \quad b = 1, 2, \dots \quad (2.2)$$

**ЛЕММА 2.2.** Для каждого  $b = 1, 2, \dots$

а) функция  $\operatorname{ctg}_b z$  является многочленом от  $\operatorname{ctg} z$  с рациональными коэффициентами:

$$\operatorname{ctg}_b z = U_b(\operatorname{ctg} z), \quad U_b(-y) = (-1)^b U_b(y), \quad \deg U_b = b;$$

б) функция  $\sin^b z \cdot \operatorname{ctg}_b z$  является многочленом от  $\cos z$  с рациональными коэффициентами:

$$\sin^b z \cdot \operatorname{ctg}_b z = V_b(\cos z), \quad V_b(-y) = (-1)^b V_b(y), \quad \deg V_b = \max\{1, b - 2\}. \quad (2.3)$$

**ДОКАЗАТЕЛЬСТВО.** Воспользуемся методом математической индукции. При  $b = 1$  имеем  $\operatorname{ctg}_1 z = \operatorname{ctg} z$  и  $\sin z \cdot \operatorname{ctg}_1 z = \cos z$ , так что  $U_1(y) = V_1(y) = y$ .

а) Согласно дифференциальному уравнению

$$\frac{dy}{dz} = -(y^2 + 1), \quad y = \operatorname{ctg} z,$$

и определению (2.2) для многочленов  $U_b(y)$ ,  $b = 1, 2, \dots$ , справедливо рекуррентное соотношение

$$U_{b+1}(y) = \frac{1}{b}(y^2 + 1)U'_b(y), \quad b = 2, 3, \dots$$

Индукционный переход от  $b$  к  $b + 1$  показывает, что  $U_{b+1}(-y) = (-1)^{b+1} U_{b+1}(y)$  и степень многочлена  $U_{b+1}$  на единицу больше степени  $U_b$ .

б) Пусть представление (2.3) доказано для некоторого целого  $b \geq 1$ . Тогда

$$\begin{aligned} \sin z \cdot \frac{d}{dz} V_b(\cos z) &= \sin z \cdot \frac{d}{dz} (\sin^b z \cdot \operatorname{ctg}_b z) \\ &= b \cos z \cdot \sin^b z \cdot \operatorname{ctg}_b z + \sin^{b+1} z \cdot \frac{d}{dz} \operatorname{ctg}_b z \\ &= b \cos z \cdot V_b(\cos z) - b \sin^{b+1} z \cdot \operatorname{ctg}_{b+1} z, \end{aligned}$$

откуда

$$\begin{aligned} \sin^{b+1} z \cdot \operatorname{ctg}_{b+1} z &= \cos z \cdot V_b(\cos z) - \frac{1}{b} \sin z \cdot \frac{d}{dz} V_b(\cos z) \\ &= \cos z \cdot V_b(\cos z) + \frac{1}{b} \sin^2 z \cdot V'_b(\cos z) \\ &= V_{b+1}(\cos z), \end{aligned}$$

где

$$V_{b+1}(y) = yV_b(y) + \frac{1}{b}(1 - y^2)V'_b(y). \quad (2.4)$$

Согласно формуле (2.4) и индукционному предположению функция  $V_{b+1}(y)$  является многочленом, степень которого не более чем на единицу превосходит степень  $V_b(y)$ ; кроме того,  $U_{b+1}(-y) = (-1)^{b+1} U_{b+1}(y)$ . Поскольку  $V_2(y) = 1$  (вновь согласно (2.4)), получаем оценку  $\deg V_{b+1} \leq b - 1$ . В то же время индукционный переход от  $b$  к  $b + 1$  и соотношение (2.4) показывают, что коэффициент при  $y^{b-1}$  в многочлене  $V_{b+1}(y)$  ненулевой и равен  $2^{b-1}/b!$ . Тем самым представление (2.3) доказано для всех  $b = 1, 2, \dots$ . Лемма доказана полностью.

**ЛЕММА 2.3.** Для каждого  $b = 1, 2, \dots$  и любого целого  $k$  в окрестности точки  $t = k$  справедливо представление

$$\pi^b \operatorname{ctg}_b \pi t = \frac{1}{(t - k)^b} + O(1), \quad (2.5)$$

где функция в  $O(1)$  аналитична в окрестности точки  $t = k$ . В окрестности точки  $t \in \mathbb{C} \setminus \mathbb{Z}$  функция  $\operatorname{ctg}_b \pi t$  аналитична.

**ДОКАЗАТЕЛЬСТВО.** Второе утверждение леммы следует из определения (2.2) функции  $\operatorname{ctg}_b z$  и разложения котангенса в сумму простейших дробей:

$$\pi \operatorname{ctg} \pi t = \frac{1}{t} + \sum_{m=1}^{\infty} \left( \frac{1}{t-m} + \frac{1}{t+m} \right) \quad (2.6)$$

(см., например, [22, гл. X, § 3, формула (3)]).

В окрестности точки  $t = k \in \mathbb{Z}$  имеем

$$\pi \operatorname{ctg} \pi t = \pi \operatorname{ctg} \pi(t - k) = \frac{1}{t - k} \cdot \left( 1 + \sum_{s=2}^{\infty} B_s \frac{(2\pi i)^s (t - k)^s}{s!} \right), \quad (2.7)$$

где  $B_s$ ,  $s = 2, 3, \dots$  – числа Бернулли (см., например, [22, гл. X, § 3, формула (2)]). Дифференцируя  $b - 1$  раз тождество (2.7), получаем представление (2.5) и первое утверждение леммы. Лемма доказана полностью.

**ЛЕММА 2.4.** Для суммы (1.2) справедливы интегральное представление

$$I = \frac{\pi^{b-1} i}{2} \int_{M-i\infty}^{M+i\infty} \operatorname{ctg}_b \pi t \cdot R(t) dt, \quad (2.8)$$

где  $M \in \mathbb{R}$  – произвольная постоянная из интервала  $n < M < (2r + 1)n$ .

**ДОКАЗАТЕЛЬСТВО.** Рассмотрим подынтегральную функцию в (2.8) на контуре прямоугольника с вершинами  $M \pm iN$ ,  $N + 1/2 \pm iN$  (см. рис. 1), где целое число  $N$  достаточно велико,  $N > (2r + 1)n$ . Согласно теореме Коши, лемме 2.3 и аналитичности функции  $R(t)$  внутри и на границе прямоугольника интеграл

$$\frac{\pi^b}{2\pi i} \left( \int_{M+iN}^{M-iN} + \int_{M-iN}^{N+1/2-iN} + \int_{N+1/2-iN}^{N+1/2+iN} + \int_{N+1/2+iN}^{M+iN} \right) \operatorname{ctg}_b \pi t \cdot R(t) dt \quad (2.9)$$

равен сумме вычетов подынтегральной функции в точках  $t \in \mathbb{Z}$ ,  $M < t \leq N$ . Пользуясь теперь представлением (2.5) и разложением

$$R(t) = R(k) + R'(k) \cdot (t - k) + \dots + \frac{R^{(b-1)}(k)}{(b-1)!} \cdot (t - k)^{b-1} + O((t - k)^b)$$

в окрестности точки  $t = k \in \mathbb{Z}$ ,  $M < k \leq N$ , получаем, что интеграл (2.9) равен

$$\sum_{M < k \leq N} \operatorname{Res}_{t=k} (\pi^b \operatorname{ctg}_b \pi t \cdot R(t)) = \sum_{M < k \leq N} \frac{R^{(b-1)}(k)}{(b-1)!} = \sum_{k=n+1}^N \frac{R^{(b-1)}(k)}{(b-1)!}. \quad (2.10)$$

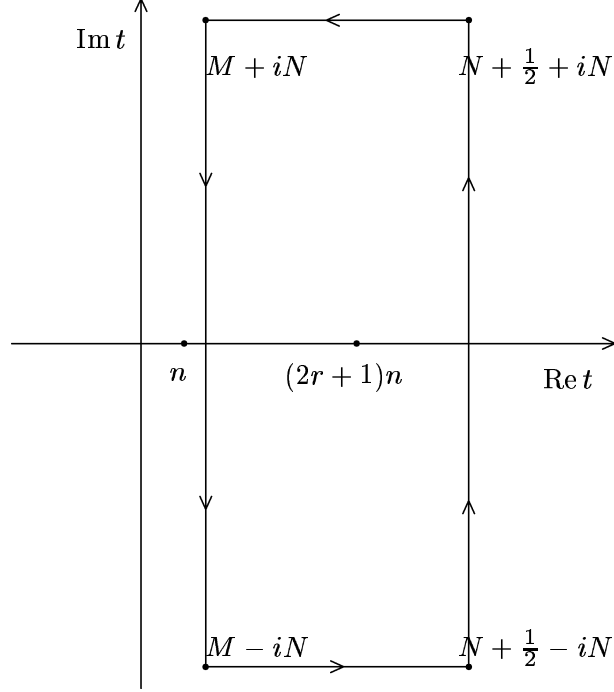


Рис. 1

Отметим теперь, что на сторонах  $[N + 1/2 - iN, N + 1/2 + iN]$ ,  $[M - iN, N + 1/2 - iN]$  и  $[N + 1/2 + iN, M + iN]$  прямоугольника выполнено  $R(t) = O(N^{-2})$  согласно (1.3), а функция  $\operatorname{ctg}_b \pi t$  ограничена. Последнее утверждение следует из утверждения а) леммы 2.2 и ограниченности функции  $\operatorname{ctg} \pi t$  на рассматриваемых сторонах: для отрезка  $[N + 1/2 - iN, N + 1/2 + iN]$  пользуемся леммой 2.1, а для двух других отрезков – тривиальной оценкой

$$|\operatorname{ctg} \pi(x + iy)| = \left| \frac{1 + e^{\pm 2\pi ix} \cdot e^{-2\pi|y|}}{1 - e^{\pm 2\pi ix} \cdot e^{-2\pi|y|}} \right| \leq \frac{1 + e^{-2\pi|y|}}{1 - e^{-2\pi|y|}}, \quad x \in \mathbb{R},$$

при  $y = \pm N$ . Поэтому

$$\left( \int_{M-iN}^{N+1/2-iN} + \int_{N+1/2-iN}^{N+1/2+iN} + \int_{N+1/2+iN}^{M+iN} \right) \operatorname{ctg}_b \pi t \cdot R(t) dt = O(N^{-1}),$$

и после перехода к пределу при  $N \rightarrow \infty$  в (2.9) получаем правую часть (2.8), в то время как предельный переход в (2.10) дает исковую сумму (1.2). Лемма доказана.

**ЛЕММА 2.5.** *При  $n \rightarrow \infty$  для суммы (1.2) выполнено*

$$I = \tilde{I} \frac{(-1)^{bn} (2\sqrt{\pi n})^{a-2rb} (2\pi)^b}{n^{a-1}} (1 + O(n^{-1})),$$

где

$$\tilde{I} = \tilde{I}_n := -\frac{1}{2\pi i} \int_{\mu-i\infty}^{\mu+i\infty} \sin^b \pi n\tau \cdot \operatorname{ctg}_b \pi n\tau \cdot e^{nf(\tau)} \cdot g(\tau) d\tau, \quad (2.11)$$

$$\begin{aligned} f(\tau) &= b(\tau + 2r + 1) \log(\tau + 2r + 1) + b(-\tau + 2r + 1) \log(-\tau + 2r + 1) \\ &\quad + (a+b)(\tau - 1) \log(\tau - 1) - (a+b)(\tau + 1) \log(\tau + 1) + (a - 2rb)2 \log 2, \end{aligned} \quad (2.12)$$

$$g(\tau) = \frac{(\tau + 2r + 1)^{b/2} (-\tau + 2r + 1)^{b/2}}{(\tau + 1)^{(a+b)/2} (\tau - 1)^{(a+b)/2}}, \quad (2.13)$$

а  $\mu \in \mathbb{R}$  – произвольная постоянная из интервала  $1 < \mu < 2r + 1$ .

**ЗАМЕЧАНИЕ 2.1.** Для однозначного определения функций  $f(\tau)$  и  $g(\tau)$  рассматриваем их в  $\tau$ -плоскости с разрезами вдоль лучей  $(-\infty, 1]$  и  $[2r + 1, +\infty)$ , фиксируя ветви логарифмов, принимающие действительные значения на интервале  $(1, 2r + 1)$  вещественной оси. Такой выбор ветвей обусловлен следующим далее доказательством леммы.

**ДОКАЗАТЕЛЬСТВО.** Пользуясь формулой понижения  $\Gamma(z + 1) = z\Gamma(z)$ , перепишем рациональную функцию (1.1) в терминах гамма-функции:

$$R(t) = (-1)^{an} \left( \frac{\Gamma(\pm t + (2r + 1)n + 1)}{\Gamma(\pm t + n + 1)} \right)^b \left( \frac{\Gamma(t)\Gamma(1-t)}{\Gamma(\pm t + n + 1)} \right)^a (2n)!^{a-2rb}, \quad (2.14)$$

где, как и раньше, знак  $\pm$  отвечает двум множителям в произведении. Преобразуем подынтегральную функцию в (2.8), пользуясь представлением (2.14) функции  $R(t)$  и тождеством

$$\Gamma(t)\Gamma(1-t) = \frac{\pi}{\sin \pi t} = (-1)^n \Gamma(-t + n + 1)\Gamma(t - n).$$

Имеем

$$R(t) = \frac{(-1)^{bn} \cdot \sin^b \pi t}{\pi^b} \frac{\Gamma(\pm t + (2r + 1)n + 1)^b \Gamma(t - n)^{a+b}}{\Gamma(t + n + 1)^{a+b}} (2n)!^{a-2rb}. \quad (2.15)$$

Подставив это выражение в (2.8), получим

$$\begin{aligned} I &= \frac{(-1)^{bn} i}{2\pi} \int_{M-i\infty}^{M+i\infty} \sin^b \pi t \cdot \operatorname{ctg}_b \pi t \\ &\quad \times \frac{\Gamma(\pm t + (2r + 1)n + 1)^b \Gamma(t - n)^{a+b} (2n)!^{a-2rb}}{\Gamma(t + n + 1)^{a+b}} dt \\ &= \frac{(-1)^{bn} (2n)^{a-2rb} i}{2\pi} \int_{M-i\infty}^{M+i\infty} \sin^b \pi t \cdot \operatorname{ctg}_b \pi t \cdot \frac{(-t + (2r + 1)n)^b (t + (2r + 1)n)^b}{(t + n)^{a+b}} \\ &\quad \times \frac{\Gamma(\pm t + (2r + 1)n)^b \Gamma(t - n)^{a+b} (2n)^{a-2rb}}{\Gamma(t + n)^{a+b}} dt, \end{aligned} \quad (2.16)$$

где  $M \in \mathbb{R}$  – произвольная постоянная из интервала  $n < M < (2r + 1)n$ . Положим  $M = \mu n$  для постоянной  $\mu \in \mathbb{R}$  из интервала  $1 < \mu < 2r + 1$ .

Согласно асимптотике Г-функции

$$\log \Gamma(z) = \left( z - \frac{1}{2} \right) \log z - z + \log \sqrt{2\pi} + O(|z|^{-1}) \quad (2.17)$$

(см., например, [23, § 3.10]) на контуре интегрирования в (2.16) имеем

$$\begin{aligned} \log \Gamma(\pm t + (2r + 1)n) &= \left( \pm t + (2r + 1)n - \frac{1}{2} \right) \log(\pm t + (2r + 1)n) \\ &\quad - (\pm t + (2r + 1)n) + \log \sqrt{2\pi} + O(n^{-1}), \\ \log \Gamma(t + n) &= \left( t + n - \frac{1}{2} \right) \log(t + n) - (t + n) + \log \sqrt{2\pi} + O(n^{-1}), \\ \log \Gamma(t - n) &= \left( t - n - \frac{1}{2} \right) \log(t - n) - (t - n) + \log \sqrt{2\pi} + O(n^{-1}), \\ \log \Gamma(2n) &= \left( 2n - \frac{1}{2} \right) \log(2n) - 2n + \log \sqrt{2\pi} + O(n^{-1}). \end{aligned}$$

Таким образом, после замены  $t = n\tau$  в интегралах в (2.16) получим

$$\begin{aligned} I &= \frac{(-1)^{bn}(2\sqrt{\pi n})^{a-2rb}(2\pi)^{b-1}i}{n^{a-1}} \int_{\mu-i\infty}^{\mu+i\infty} \sin^b \pi n\tau \cdot \operatorname{ctg}_b \pi n\tau \cdot e^{nf(\tau)} \\ &\quad \times \frac{(\tau+2r+1)^{b/2}(-\tau+2r+1)^{b/2}}{(\tau+1)^{(a+b)/2}(\tau-1)^{(a+b)/2}} (1 + O(n^{-1})) d\tau, \end{aligned}$$

где функция  $f(\tau)$  определена в (2.12) и  $\mu = M/n \in \mathbb{R}$  – произвольная постоянная из интервала  $1 < \mu < 2r+1$ . Лемма доказана.

Согласно утверждению б) леммы 2.2 интеграл (2.11) можно представить в виде

$$\tilde{I} = -\frac{1}{2\pi i} \sum_{k=-b}^b c_k \int_{\mu-i\infty}^{\mu+i\infty} e^{n(f(\tau)-k\pi i\tau)} g(\tau) d\tau, \quad c_k = c_{-k}, \quad (2.18)$$

где суммирование происходит только по  $k$ , имеющим ту же четность, что и число  $b$ , причем  $c_{-b} = c_b = 0$  в случае  $b > 1$ .

**ЛЕММА 2.6.** Для  $\mu, \lambda \in \mathbb{R}$ ,  $1 < \mu < 2r+1$ , и целого положительного  $n$  определим величину

$$J_{n,\lambda} = \frac{1}{2\pi i} \int_{\mu-i\infty}^{\mu+i\infty} e^{n(f(\tau)-\lambda\pi i\tau)} g(\tau) d\tau. \quad (2.19)$$

Тогда

$$J_{n,-\lambda} = \overline{J_{n,\lambda}},$$

где черта сверху означает комплексное сопряжение.

**ДОКАЗАТЕЛЬСТВО.** Для аналитических в  $\mathbb{C} \setminus ((-\infty, 1] \cup [2r+1, +\infty))$  функций  $f(\tau), g(\tau)$ , принимающих вещественные значения на интервале  $(1, 2r+1)$ , воспользуемся принципом симметрии Шварца (см., например, [24, гл. III, § 7, предложение 7.1]). Тогда после замены  $\tau \mapsto \bar{\tau}$  в интеграле (2.19) получим

$$\begin{aligned} J_{n,\lambda} &= \frac{1}{2\pi i} \int_{\mu-i\infty}^{\mu+i\infty} e^{n(f(\bar{\tau})-\lambda\pi i\bar{\tau})} g(\bar{\tau}) d\bar{\tau} = -\frac{1}{2\pi i} \int_{\mu-i\infty}^{\mu+i\infty} e^{n(f(\bar{\tau})-\lambda\pi i\bar{\tau})} g(\bar{\tau}) d\tau \\ &= \overline{\frac{1}{2\pi i} \int_{\mu-i\infty}^{\mu+i\infty} e^{n(f(\tau)+\lambda\pi i\tau)} \overline{g(\tau)} d\tau} = \overline{J_{n,-\lambda}}, \end{aligned}$$

что и требовалось доказать.

**СЛЕДСТВИЕ 2.1.** Интеграл (2.11) представим в виде

$$\tilde{I} = -2 \sum_{\substack{k=0 \\ k \equiv b \pmod{2}}}^b c_k \operatorname{Re} J_{n,k}, \quad (2.20)$$

где  $c_k$  – некоторые (рациональные) постоянные, причем  $c_1 = 1$  для  $b = 1$  и  $c_b = 0$ ,  $c_{b-2} \neq 0$  для  $b > 1$ .

**ДОКАЗАТЕЛЬСТВО.** Требуемое представление (2.20) непосредственно следует из утверждения б) леммы 2.2, формулы (2.18) и леммы 2.6.

Займемся вычислением асимптотики каждого из интегралов в правой части (2.18) с помощью метода перевала. Для этого нам понадобятся седловые точки подынтегральных функций – нули производных функций  $f(\tau) - k\pi i\tau$ ,  $k = 0, \pm 1, \dots, \pm b$ ,  $k \equiv b \pmod{2}$ . Как несложно убедиться, все корни производной

$$\begin{aligned} \frac{d}{d\tau}(f(\tau) - k\pi i\tau) &= b \log(\tau + 2r + 1) - b \log(-\tau + 2r + 1) \\ &\quad + (a + b) \log(\tau - 1) - (a + b) \log(\tau + 1) - k\pi i, \\ k &= 0, \pm 1, \dots, \pm b, \quad k \equiv b \pmod{2}, \end{aligned}$$

одновременно являются корнями многочлена

$$(\tau + 2r + 1)^b (\tau - 1)^{a+b} - (\tau - 2r - 1)^b (\tau + 1)^{a+b}, \quad (2.21)$$

общее количество которых равно его степени  $a + 2b - 1$ .

**ЛЕММА 2.7.** Пусть  $a, b, r$  – целые положительные числа,  $a + b$  четно,  $a \geq 3rb$ , и функция  $f(\tau)$  определена в (2.12), где соответствующие ветви логарифмов в разрезанной плоскости  $\mathbb{C} \setminus ((-\infty, 1] \cup [2r + 1, +\infty))$  принимают вещественные значения на интервале  $(1, 2r + 1)$ . Тогда уравнение

$$f'(\tau) - \lambda\pi i = 0, \quad \lambda \in \mathbb{R}, \quad (2.22)$$

имеет:

- а) пару симметричных относительно мнимой оси вещественных решений  $-\mu_0 \pm i0$  и  $\mu_0$  для  $\lambda = 0$ , где  $\mu_0 \in (1, 2r + 1)$  и знак + (знак –) в записи  $\pm i0$  отвечает верхнему (нижнему) берегу разреза  $(-\infty, 1]$ ;
- б) пару симметричных относительно мнимой оси вещественных решений  $-\mu_1 \pm i0$  и  $\mu_1 \pm i0$  для  $\lambda = \pm b$ , где  $\mu_1 \in (2r + 1, +\infty)$  и знак + (знак –) в записи  $\pm i0$  совпадает со знаком  $\lambda$  и отвечает верхним (нижним) берегам разрезов  $(-\infty, 1], [2r + 1, +\infty)$ ;
- в) вещественное решение  $\pm i0$  для  $\lambda = \pm(a+b)$ , где знак + (знак –) в записи  $\pm i0$  совпадает со знаком  $\lambda$  и отвечает верхнему (нижнему) берегу разреза  $(-\infty, 1]$ ;
- г) одно решение на мнимой оси для вещественных  $\lambda$ , удовлетворяющих неравенству  $b < |\lambda| < a + b$ ;
- д) пару симметричных относительно мнимой оси комплексных решений для вещественных  $\lambda$ , удовлетворяющих неравенству  $0 < |\lambda| < b$ .

При этом все решения уравнения (2.22), отвечающие положительным  $\lambda$ , лежат в полуплоскости  $\operatorname{Im} \tau > 0$ , а отвечающие отрицательным  $\lambda$  – в полуплоскости  $\operatorname{Im} \tau < 0$ . Все решения уравнения (2.22) исчерпываются набором а)–д).

ДОКАЗАТЕЛЬСТВО. Поскольку

$$\begin{aligned} f'(\tau) &= b \log(\tau + 2r + 1) - b \log(-\tau + 2r + 1) \\ &\quad + (a + b) \log(\tau - 1) - (a + b) \log(\tau + 1) \end{aligned} \quad (2.23)$$

и  $\log z = \log |z| + i \arg z$ ,  $-\pi < \arg z < \pi$ , для главной ветви логарифма с разрезом  $(-\infty, 0]$  в  $z$ -плоскости, имеем

$$\operatorname{Re} f'(\tau) = \log \frac{|\tau + 2r + 1|^b |\tau - 1|^{a+b}}{|-\tau + 2r + 1|^b |\tau + 1|^{a+b}}, \quad (2.24)$$

$$\begin{aligned} \operatorname{Im} f'(\tau) &= b \arg(\tau + 2r + 1) - b \arg(-\tau + 2r + 1) \\ &\quad + (a + b) \arg(\tau - 1) - (a + b) \arg(\tau + 1), \end{aligned} \quad (2.25)$$

причем все аргументы  $\arg(\cdot)$  принимают нулевые значения на интервале  $(1, 2r+1)$ . Геометрическая интерпретация формулы (2.25) в обозначениях рис. 2 имеет вид

$$\operatorname{Im} f'(\tau) = b(\beta_- + \beta_+) + (a + b)(\alpha_+ - \alpha_-) = b(\pi - \beta) + (a + b)\alpha, \quad (2.26)$$

откуда, в частности, следует, что  $\operatorname{Im} f'(\tau) > 0$  в полуплоскости  $\operatorname{Im} \tau > 0$  и  $\operatorname{Im} f'(\tau) < 0$  в полуплоскости  $\operatorname{Im} \tau < 0$ . Кроме того, согласно (2.24), (2.26) множество решений уравнения (2.22) для каждого  $\lambda$  симметрично относительно мнимой оси, а симметрия  $\tau \mapsto \bar{\tau}$  переводит его в множество решений уравнения (2.22) с заменой  $\lambda$  на  $-\lambda$ . Поэтому наши дальнейшие рассуждения относятся к случаю  $\lambda > 0$  и верхней полуплоскости, а симметрия относительно действительной оси переносит их на случай  $\lambda < 0$ .

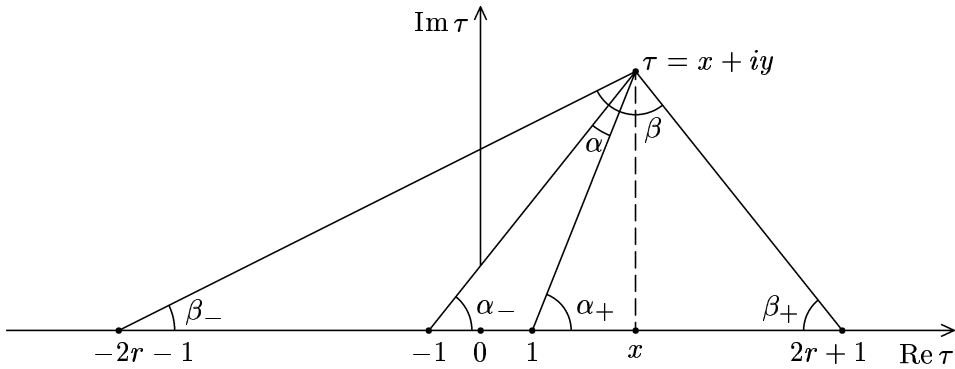


Рис. 2

Отметим также, что любое решение уравнения (2.22) согласно (2.23) является корнем многочлена

$$(\tau + 2r + 1)^b (\tau - 1)^{a+b} - e^{\lambda \pi i} (-\tau + 2r + 1)^b (\tau + 1)^{a+b} \quad (2.27)$$

степени  $a + 2b - 1$ , если  $\lambda$  – целое число, имеющее ту же четность, что и  $b$ , и степени  $a + 2b$  в противном случае; при  $\lambda \equiv b \pmod{2}$  этот многочлен совпадает с (2.21).

а), в) При  $\lambda = 0$  (или, что то же самое, при  $\lambda = a + b$ ) многочлен (2.27) является нечетной функцией, поэтому имеет корень 0; соответствующее решение  $+i0$  уравнения (2.22) отвечает  $\lambda = a + b$ , так как  $\alpha = \beta = \pi$  в (2.26) для  $\tau = 0$ . Вычисляя

значения многочлена в точках  $1, 2r + 1$  и пользуясь его нечетностью, получаем, что этот многочлен обладает парой вещественных корней  $\pm \mu_0$ , где  $\mu_0 \in (1, 2r + 1)$ . В дальнейшем покажем, что  $\mu_0$  – единственный вещественный корень на интервале  $(1, 2r + 1)$ , но до тех пор мы будем считать  $\mu_0$  ближайшим к точке  $2r + 1$  вещественным корнем многочлена (2.27) при  $\lambda = 0$  на указанном интервале. Согласно (2.26) решения  $-\mu_0 + i0$  и  $\mu_0$  отвечают  $\lambda = 0$  в уравнении (2.22).

б) Аналогично, вычисляя значения многочлена (2.27) при  $\lambda = b$  в точках  $2r + 1, +\infty$ , получаем, что этот многочлен обладает парой вещественных корней  $\pm \mu_1$ , причем корень  $\mu_1 \in (2r + 1, +\infty)$  мы (временно) считаем ближайшим к точке  $2r + 1$  среди остальных корней из интервала  $(2r + 1, +\infty)$ . Согласно (2.26) решения  $-\mu_1 + i0$  и  $\mu_1 + i0$  отвечают  $\lambda = b$  в уравнении (2.22).

В случае  $a \geq 3rb$  можно указать лучшую локализацию корня  $\mu_1$ , именно  $\mu_1 \in (2r + 1, 4r + 1)$ . Действительно, значение многочлена (2.27) в точке  $4r + 1$  равно

$$(6r + 2)^b (4r)^{a+b} - (2r)^b (4r + 2)^{a+b} = (2r)^b (4r)^{a+b} \left( \left( 3 + \frac{1}{r} \right)^b - \left( 1 + \frac{1}{2r} \right)^{a+b} \right) < 0,$$

так как

$$\begin{aligned} (3r + 1) \log \left( 1 + \frac{1}{2r} \right) &= 4 \log \frac{3}{2} > 2 \log 2 = \log \left( 3 + \frac{1}{r} \right) \quad \text{при } r = 1, \\ (3r + 1) \log \left( 1 + \frac{1}{2r} \right) &> \frac{3r + 1}{2r + 1} \geq \frac{7}{5} > 2 \log 2 > \log \left( 3 + \frac{1}{r} \right) \quad \text{при } r \geq 2 \end{aligned}$$

(мы воспользовались элементарным неравенством

$$\frac{1}{n+1} < \log \left( 1 + \frac{1}{n} \right) < \frac{1}{n}, \quad (2.28)$$

справедливым для всех целых положительных  $n$ ) и, значит,

$$(a + b) \log \left( 1 + \frac{1}{2r} \right) \geq (3r + 1)b \log \left( 1 + \frac{1}{2r} \right) > b \log \left( 3 + \frac{1}{r} \right).$$

г) На мнимой оси согласно (2.24) выполнено  $\operatorname{Re} f'(\tau) = 0$ . Когда точка  $\tau$  пробегает луч  $iy$ ,  $y > 0$ , углы  $\alpha, \beta$  непрерывно убывают от  $\pi$  до  $0$ . Поэтому функция  $\operatorname{Im} f'(\tau) = b(\pi - \beta) + (a + b)\alpha$  принимает все промежуточные значения на интервале  $(b\pi, (a + b)\pi)$ ; в частности, для каждого вещественного  $\lambda$ ,  $b < \lambda < a + b$ , мы получаем по крайней мере одно решение уравнения (2.22), лежащее на мнимой оси.

д) Займемся теперь локализацией комплексных решений (2.22), отвечающих вещественным  $\lambda$ ,  $0 < |\lambda| < b$ .

Проведем в верхней полуплоскости полуокружность с центром в точке  $2r + 1$  радиуса  $2\rho$ , где  $\rho < r$ . Для точек  $\tau = x + iy$  на этой полуокружности выполнено

$$\begin{aligned} |-\tau + 2r + 1|^2 &= 4\rho^2, \quad |\tau + 2r + 1|^2 = 4\rho^2 + 4(2r + 1)x, \\ |\tau - 1|^2 &= 4\rho^2 + 4rx - 4r(r + 1), \quad |\tau + 1|^2 = 4\rho^2 + 4(r + 1)x - 4r(r + 1), \end{aligned} \quad (2.29)$$

значит, ввиду (2.24)

$$2 \operatorname{Re} f'(\tau) = \log \frac{(\rho^2 + (2r+1)x)^b (\rho^2 + rx - r(r+1))^{a+b}}{\rho^{2b} (\rho^2 + (r+1)x - r(r+1))^{a+b}}. \quad (2.30)$$

Обозначим функцию в (2.30) через  $\tilde{f}(x)$ ,  $2r+1-2\rho < x < 2r+1+2\rho$ ; как функция от переменной  $x$  она монотонно возрастает, поскольку

$$\begin{aligned} \tilde{f}'(x) &= \frac{b(2r+1)}{\rho^2 + (2r+1)x} + \frac{(a+b)r}{\rho^2 + rx - r(r+1)} - \frac{(a+b)(r+1)}{\rho^2 + (r+1)x - r(r+1)} \\ &= \frac{b(2r+1)}{\rho^2 + (2r+1)x} + \frac{(a+b)(r(r+1) - \rho^2)}{(\rho^2 + rx - r(r+1))(\rho^2 + (r+1)x - r(r+1))} \\ &= \frac{4b(2r+1)}{|\tau + 2r+1|^2} + \frac{16(a+b)(r(r+1) - \rho^2)}{|\tau - 1|^2 |\tau + 1|^2} > 0. \end{aligned}$$

Следовательно,

$$\tilde{f}(2r+1-2\rho) < \tilde{f}(x) < \tilde{f}(2r+1+2\rho), \quad x \in (2r+1-2\rho, 2r+1+2\rho), \quad (2.31)$$

и на нашей полуокружности выполнено

$$\operatorname{Re} f'(2r+1-2\rho) < \operatorname{Re} f'(\tau) < \operatorname{Re} f'(2r+1+2\rho+i0). \quad (2.32)$$

Выберем  $\rho = (\mu_1 - 2r - 1)/2$ , где  $\mu_1 \in (2r+1, +\infty)$  – вещественный корень многочлена (2.27) при  $\lambda = b$ ; как было показано выше,  $2r+1 < \mu_1 < 4r+1$  в случае  $a \geq 3rb$ , т.е. условие  $\rho < r$  выполняется. Поэтому согласно (2.32) для точек полуокружности имеем

$$\operatorname{Re} f'(\tau) < \operatorname{Re} f'(\mu_1 + i0) = 0. \quad (2.33)$$

Кроме того,

$$\lim_{\tau \rightarrow 2r+1} \operatorname{Re} f'(\tau) = +\infty. \quad (2.34)$$

Выпустим из точки  $2r+1$  в верхнюю полуплоскость лучи; на каждом таком луче в области, ограниченной построенной полуокружностью и действительной осью, согласно (2.33) и (2.34) содержится точка  $\tau$ , в которой  $\operatorname{Re} f'(\tau) = 0$ . Таким образом, в указанной области заключена часть непрерывно дифференцируемой кривой

$$\operatorname{Re} f'(\tau) = \log \frac{|\tau + 2r + 1|^b |\tau - 1|^{a+b}}{|-\tau + 2r + 1|^b |\tau + 1|^{a+b}} = 0 \quad (2.35)$$

(см. рис. 3, где указанная часть кривой локализована согласно (2.31) между двумя полуокружностями, отвечающими  $\rho = (\mu_1 - 2r - 1)/2$  и  $\rho = (2r + 1 - \mu_0)/2$ ). Согласно (2.26) значения  $\operatorname{Im} f'(\tau)$  на этой кривой при подходе к действительной оси равны 0 (в точке  $\mu_0$ ) и  $b\pi$  (в точке  $\mu_1$ ). Следовательно,  $\operatorname{Im} f'(\tau)$  принимает на кривой все промежуточные значения между 0 и  $b\pi$ , т.е. значения  $\lambda\pi$ , где  $0 < \lambda < b$ .

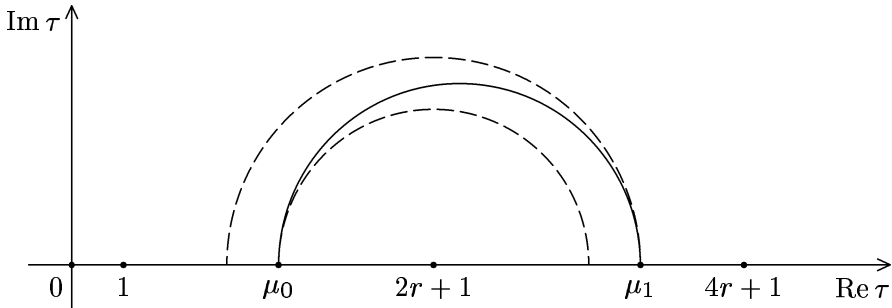


Рис. 3

Тем самым мы указали решения уравнения (2.22) для таких  $\lambda$ ; симметричные относительно мнимой оси точки также являются решениями.

Таким образом, мы указали все решения уравнения (2.22) из набора а)–д), и для завершения доказательства необходимо показать, что других решений не существует. Предположим, что это не так, т.е. для некоторого  $\lambda_0 \in \mathbb{R}$  существует еще одно не учтенное в наборе а)–д) решение уравнения (2.22). Как было отмечено, это решение является корнем многочлена (2.27) с  $\lambda = \lambda_0$ . Покажем, что набор а)–д) содержит корни многочлена (2.27) в количестве, равном его степени, что вступит в противоречие с наличием дополнительного неучтенного решения.

Если число  $\lambda_0$  не является целым, то имеем  $a$  мнимых решений из г), отвечающих  $\lambda \equiv \lambda_0 \pmod{2}$ ,  $b < |\lambda| < a + b$ , и  $b$  пар комплексных решений из д), отвечающих  $\lambda \equiv \lambda_0 \pmod{2}$ ,  $|\lambda| < b$ . Следовательно, общее количество содержащихся в наборе г), д) корней многочлена (2.27) с  $\lambda = \lambda_0$  равно степени многочлена  $a + 2b$ .

Для целого (как четного, так и нечетного)  $\lambda_0$  решение уравнения (2.22) с  $\lambda = \lambda_0$  одновременно является корнем многочлена

$$(\tau + 2r + 1)^{2b}(\tau - 1)^{2(a+b)} - (\tau - 2r - 1)^{2b}(\tau + 1)^{2(a+b)}. \quad (2.36)$$

Для этого многочлена найдены два вещественных корня  $\pm\mu_0$  из а), два вещественных корня  $\pm\mu_1$  из б), один вещественный корень 0 из в),  $2(a-1)$  мнимых корней из г) и  $4(b-1)$  комплексных корней из д); общее количество корней многочлена (2.36), содержащихся в наборе а)–д), равно его степени  $2a + 4b - 1$ .

Таким образом, любое решение уравнения (2.22) обязательно содержится в наборе а)–д). Полученное противоречие завершает доказательство леммы.

**ЗАМЕЧАНИЕ 2.2.** Замена исходного ограничения  $a \geq 2rb$  на более сильное  $a \geq 3rb$  в лемме 2.7 потребовалось только для локализации корня  $\mu_1$ . Поэтому лемма 2.7 остается справедливой и в случае  $a \geq 2rb$ , если выполнено условие

$$\mu_1 < 4r + 1. \quad (2.37)$$

**СЛЕДСТВИЕ 2.2.** *Множество точек  $\tau \in \mathbb{C}$ , для которых выполнено (2.35), представляет собой мнимую ось и пару замкнутых кривых, симметричных относительно мнимой оси (см. рис. 4). Указанные кривые делят комплексную плоскость на четыре части, в каждой из которых знак  $\operatorname{Re} f'(\tau)$  постоянный.*

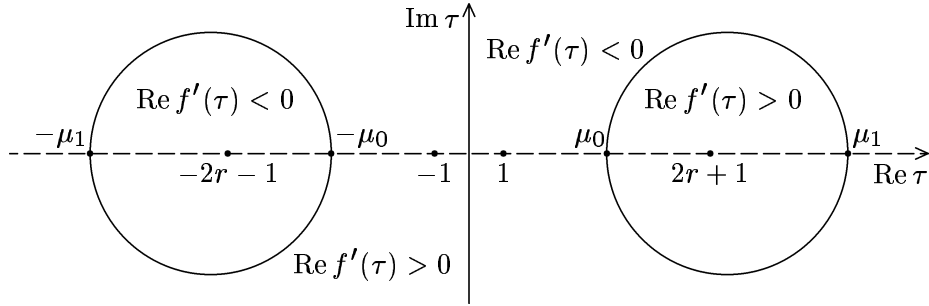


Рис. 4

**СЛЕДСТВИЕ 2.3.** Любая полуокружность в верхней полуплоскости с центром в точке  $2r + 1$  радиуса  $\rho$ ,  $2r + 1 - \mu_0 < 2\rho < \mu_1 - 2r - 1$ , пересекает кривую (2.35) (см. рис. 3) в точности в одной точке.

**ДОКАЗАТЕЛЬСТВО.** Это утверждение следует из неравенств (2.32) и монотонности функции  $\operatorname{Re} f'(\tau)$  на любой такой полуокружности.

**ЛЕММА 2.8.** Пусть  $a, b, r, n$  – целые положительные числа,  $a \geq 2rb$ , функции  $f(\tau), g(\tau)$  определены в (2.12), (2.13) и  $\mu, \lambda \in \mathbb{R}$ ,  $1 < \mu < 2r + 1$ ,  $|\lambda| \leq b$ . Тогда контур интегрирования  $\operatorname{Re} \tau = \mu$  в интеграле

$$\int_{\mu-i\infty}^{\mu+i\infty} e^{n(f(\tau)-\lambda\pi i\tau)} g(\tau) d\tau \quad (2.38)$$

может быть заменен на любой другой контур  $\mathcal{L}$ , соединяющий бесконечно удаленные точки в областях  $\operatorname{Re} \tau \geq \mu$ ,  $\operatorname{Im} \tau < 0$  и  $\operatorname{Re} \tau \geq \mu$ ,  $\operatorname{Im} \tau > 0$  и пересекающий действительную ось в единственной точке  $\tau = \mu$ . В частности, контур  $\mathcal{L}$  может проходить по верхнему и (или) нижнему берегу разреза  $[2r + 1, +\infty)$ .

**ДОКАЗАТЕЛЬСТВО.** Для любого вещественного  $N > \mu$  соединим точки исходного контура  $\operatorname{Re} \tau = \mu$  и нового контура  $\mathcal{L}$  двумя дугами радиуса  $N$  с центром в начале координат; соответствующие точки пересечения с контурами обозначим через  $M_{\pm}$  и  $L_{\pm}$  (см. рис. 5).

Криволинейные треугольники  $\mu L_{+} M_{+}$  и  $\mu M_{-} L_{-}$  не содержат внутри особых точек подынтегральной функции в (2.38). Поэтому для доказательства леммы достаточно показать, что при  $N \rightarrow \infty$

$$\int_{L_{+} M_{+}} e^{n(f(\tau)-\lambda\pi i\tau)} g(\tau) d\tau \rightarrow 0, \quad \int_{M_{-} L_{-}} e^{n(f(\tau)-\lambda\pi i\tau)} g(\tau) d\tau \rightarrow 0, \quad (2.39)$$

где  $L_{+} M_{+}$  и  $M_{-} L_{-}$  – дуги окружности радиуса  $N$  с центром в начале координат.

На дугах  $L_{+} M_{+}$  и  $M_{-} L_{-}$  окружности  $\tau = Ne^{it}$  выполнены неравенства  $0 \leq t < \pi/2$  и  $-\pi/2 < t \leq 0$  соответственно (значение  $t = 0$  принимается на верхнем и нижнем берегах разреза  $[2r + 1, +\infty)$ ). Пользуясь формулой Тейлора, находим

$$\begin{aligned} \log(\tau + 1) &= \log(Ne^{it} + 1) = \log(Ne^{it}) + \log\left(1 + \frac{e^{-it}}{N}\right) \\ &= \log N + it + \frac{e^{-it}}{N} + O\left(\frac{1}{N^2}\right), \end{aligned} \quad (2.40)$$

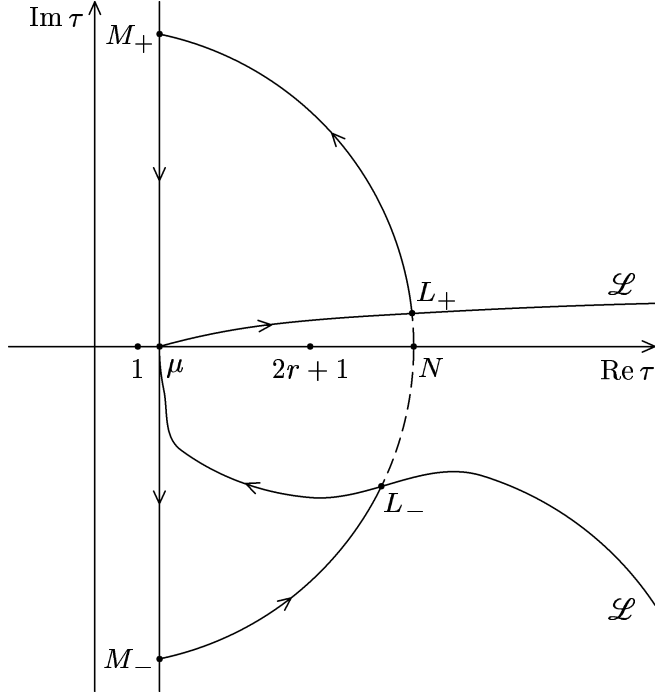


Рис. 5

$$\log(\tau - 1) = \log N + it - \frac{e^{-it}}{N} + O\left(\frac{1}{N^2}\right), \quad (2.41)$$

$$\begin{aligned} \log(\tau + 2r + 1) &= \log(Ne^{it} + 2r + 1) = \log(Ne^{it}) + \log\left(1 + \frac{(2r + 1)e^{-it}}{N}\right) \\ &= \log N + it + \frac{(2r + 1)e^{-it}}{N} + O\left(\frac{1}{N^2}\right), \end{aligned} \quad (2.42)$$

$$\begin{aligned} \log(-\tau + 2r + 1) &= \mp\pi i + \log(Ne^{it} - (2r + 1)) \\ &= \mp\pi i + \log N + it - \frac{(2r + 1)e^{-it}}{N} + O\left(\frac{1}{N^2}\right), \end{aligned} \quad (2.43)$$

где знак  $-$  (знак  $+$ ) в записи  $\mp\pi i$  в (2.43) отвечает дуге  $L_+M_+$  (дуге  $M_-L_-$ ) согласно выбору ветвей логарифма. Постоянная в  $O(1/N^2)$  в формулах (2.40)–(2.43) является абсолютной, так как  $|e^{-it}| = 1$  для вещественных  $t$ . Подставляя найденные разложения в (2.12), получаем

$$\begin{aligned} f(\tau) &= f(Ne^{it}) \\ &= (\log N + it)(b(\tau + 2r + 1) + b(-\tau + 2r + 1) + (a + b)(\tau - 1) - (a + b)(\tau + 1)) \\ &\quad + \frac{e^{-it}}{N}(b(2r + 1)(\tau + 2r + 1) - b(2r + 1)(-\tau + 2r + 1) \\ &\quad - (a + b)(\tau - 1) - (a + b)(\tau + 1)) \\ &\quad \mp \pi i \cdot b(-\tau + 2r + 1) + (a - 2rb)2\log 2 + O\left(\frac{|\tau|}{N^2}\right) \\ &= -2(a - 2rb)\left(\log \frac{Ne}{2} + it\right) \pm b\pi i(Ne^{it} - 2r - 1) + O\left(\frac{1}{N}\right), \end{aligned}$$

где знак  $\pm b\pi$  совпадает со знаком  $t$  (и  $\sin t$ ). Следовательно, на дугах  $L_+M_+$  и  $M_-L_-$  при  $N \rightarrow \infty$  выполнено

$$\operatorname{Re}(f(\tau) - \lambda\pi i\tau) = -2(a - 2rb)\log \frac{Ne}{2} - (b \mp \lambda)\pi N|\sin t| + O\left(\frac{1}{N}\right) \leq \frac{1}{n},$$

где мы воспользовались неравенствами  $a \geq 2rb$  и  $|\lambda| \leq b$ . Таким образом, для всех достаточно больших  $N$  справедлива оценка

$$|e^{n(f(\tau) - \lambda\pi i\tau)}| = e^{n \operatorname{Re}(f(\tau) - \lambda\pi i\tau)} \leq e. \quad (2.44)$$

Для функции (2.13) на дугах  $L_+M_+$  и  $M_-L_-$  воспользуемся тривиальной оценкой

$$|g(\tau)| = O\left(\frac{N^{b/2} N^{b/2}}{N^{(a+b)/2} N^{(a+b)/2}}\right) = O\left(\frac{1}{N^a}\right) = O\left(\frac{1}{N^2}\right) \quad \text{при } N \rightarrow \infty, \quad (2.45)$$

так как  $a \geq 2rb \geq 2$ . Поскольку длина каждой из дуг  $L_+M_+$  и  $M_-L_-$  не превосходит  $\pi N/2$ , согласно оценкам (2.44), (2.45) каждый из интегралов в (2.39) имеет порядок  $O(1/N)$ . Это доказывает предельные соотношения (2.39) и завершает доказательство леммы.

**ЛЕММА 2.9.** *Пусть  $a, b, r$  – целые положительные числа,  $a \geq 2rb$ , функции  $f(\tau), g(\tau)$  определены в (2.12), (2.13) и  $\lambda \in \mathbb{R}$ ,  $|\lambda| \leq b$ . Предположим дополнительно, что вещественные корни  $\mu_0 \in (1, 2r+1)$  и  $\mu_1 \in (2r+1, +\infty)$  многочлена (2.36) удовлетворяют условию (2.37) и условию*

$$\mu_0 + \sqrt{\mu_0^2 - 1} \geq \mu_1. \quad (2.46)$$

*Тогда асимптотическое поведение интеграла (2.38) с  $\mu = \mu_0$  при  $n \rightarrow \infty$  определяется единственной точкой перевала  $\tau_0$  – решением уравнения (2.22) – в области  $\operatorname{Im} \tau > 0$ . Более точно, справедлива асимптотическая формула*

$$\begin{aligned} J_{n,\lambda} &= \frac{1}{2\pi i} \int_{\mu_0-i\infty}^{\mu_0+i\infty} e^{n(f(\tau) - \lambda\pi i\tau)} g(\tau) d\tau \\ &= (2\pi)^{-1/2} |f''(\tau_0)|^{-1/2} e^{n \operatorname{Re} f_0(\tau_0)} |g(\tau_0)| \cdot e^{-\frac{i}{2} \arg f''(\tau_0) + i \arg g(\tau_0) + i n \operatorname{Im} f_0(\tau_0)} \\ &\quad \times n^{-1/2} (1 + O(n^{-1})) \quad \text{при } n \rightarrow \infty, \end{aligned} \quad (2.47)$$

здесь

$$\begin{aligned} f_0(\tau) &= f(\tau) - f'(\tau)\tau \\ &= b(2r+1) \log(\tau + 2r+1) + b(2r+1) \log(-\tau + 2r+1) \\ &\quad - (a+b) \log(\tau + 1) - (a+b) \log(\tau - 1) + (a-2rb) 2 \log 2. \end{aligned} \quad (2.48)$$

**ДОКАЗАТЕЛЬСТВО.** Ограничимся доказательством леммы для  $\lambda \geq 0$ , так как все дальнейшие вычисления переносятся на случай  $\lambda < 0$  зеркальным отображением относительно вещественной оси.

Согласно лемме 2.8 заменим контур интегрирования в (2.38) с  $\mu = \mu_0$  на контур, состоящий из прямолинейных лучей и отрезков. Отметим сразу, что производная функции  $\operatorname{Re} f(\tau)$  на каждом таком прямолинейном участке  $\tau = \tau_1 + e^{i\varphi}t$ ,  $t \in \mathbb{R}$ , задается формулой

$$\frac{d}{dt} \operatorname{Re} f(\tau) = \operatorname{Re} \frac{df(\tau)}{dt} = \operatorname{Re} \left( \frac{d\tau}{dt} \cdot \frac{df(\tau)}{d\tau} \right) = \operatorname{Re} f'(\tau) \cos \varphi - \operatorname{Im} f'(\tau) \sin \varphi. \quad (2.49)$$

Если  $\lambda = 0$ , то точка  $\mu_0$  является единственной точкой максимума функции  $\operatorname{Re} f(\tau)$  на прямой  $\tau = \mu_0 + it$ ,  $-\infty < t < +\infty$ , поскольку

$$\frac{d}{dt} \operatorname{Re} f(\tau) = -\operatorname{Im} f'(\tau)$$

и функция  $\operatorname{Im} f'(\tau)$  принимает отрицательные значения в области  $\operatorname{Im} \tau < 0$  и положительные – в области  $\operatorname{Im} \tau > 0$ . Таким образом, в случае  $\lambda = 0$  пользуемся исходным контуром  $\operatorname{Re} \tau = \mu_0$ .

Если  $\lambda = b$ , то для контура интегрирования в (2.38) с  $\mu = \mu_0$  заменим луч, идущий из точки  $\mu_0$  в  $\mu_0 + i\infty$ , на луч, уходящий из  $\mu_0$  в  $+\infty$  вдоль верхнего берега разреза  $[2r+1, +\infty)$ . На участке  $\tau = \mu_0 + it$ ,  $-\infty < t \leq 0$ , функция

$$\operatorname{Re}(f(\tau) - \lambda\pi i\tau) \quad (2.50)$$

возрастает, поскольку

$$\frac{d}{dt} \operatorname{Re}(f(\tau) - \lambda\pi i\tau) = -\operatorname{Im} f'(\tau) + \lambda\pi \geq \lambda\pi > 0. \quad (2.51)$$

На участке  $\tau = t$ ,  $\mu_0 \leq t < +\infty$ , функция  $\operatorname{Re}(f(\tau) - \lambda\pi i\tau) = \operatorname{Re} f(\tau)$  имеет единственную точку максимума при  $t = \mu_1$  согласно лемме 2.7 и следствию 2.2.

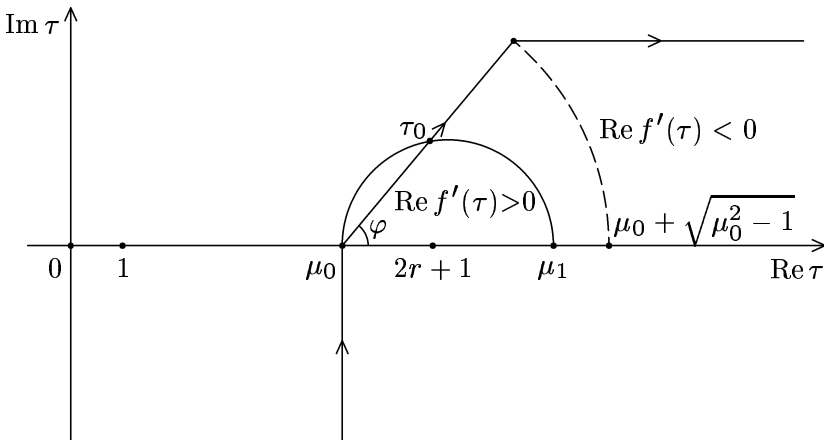


Рис. 6

Осталось рассмотреть случай  $\lambda \in (0, b)$ . Заменим луч от  $\mu_0$  к  $\mu_0 + i\infty$  на отрезок  $\tau = \mu_0 + e^{i\varphi}t$ ,  $0 \leq t \leq \sqrt{\mu_0^2 - 1}$ , проходящий через точку перевала  $\tau_0$  (единственное решение уравнения (2.22) в области  $\operatorname{Re} \tau > 0$ ) и луч  $\tau = e^{i\varphi}\sqrt{\mu_0^2 - 1} + t$ ,  $\mu_0 \leq t < +\infty$ . Согласно следствию 2.3 луч  $\tau = \mu_0 + e^{i\varphi}t$ ,  $t > 0$ , пересекает кривую  $\operatorname{Re} f'(\tau) = 0$  в точности в одной точке (именно  $\tau_0$ ) и  $0 < \varphi < \pi/2$ . Кроме того, согласно условию (2.46) точка  $\tau_0$  является внутренней точкой указанного отрезка (см. рис. 6). На луче  $\tau = \mu_0 + it$ ,  $t \leq 0$ , функция (2.50) возрастает согласно (2.51); на луче  $\tau = e^{i\varphi}\sqrt{\mu_0^2 - 1} + t$ ,  $t \geq \mu_0$ , функция (2.50) убывает, поскольку

$$\frac{d}{dt} \operatorname{Re}(f(\tau) - \lambda\pi i\tau) = \operatorname{Re}(f'(\tau) - \lambda\pi i) = \operatorname{Re} f'(\tau) < 0$$

согласно следствию 2.2. Таким образом, достаточно показать, что точка  $\tau_0$  – единственная точка максимума функции (2.50) на отрезке  $\tau = \mu_0 + e^{i\varphi}t$ ,  $0 \leq t \leq t_1$ , где  $t_1 = \sqrt{\mu_0^2 - 1}$ . Пусть  $t_0$  отвечает точке  $\tau_0 = \mu_0 + e^{i\varphi}t_0$  на рассматриваемом отрезке. Согласно следствию 2.3 имеем

$$\operatorname{Re} f'(\mu_0 + e^{i\varphi}t) < 0 \quad \text{для } 0 < t < t_0, \quad \operatorname{Re} f'(\mu_0 + e^{i\varphi}t) > 0 \quad \text{для } t_0 < t \leq t_1. \quad (2.52)$$

Покажем, что на рассматриваемом отрезке функция  $\operatorname{Im} f'(\tau)$  монотонно возрастает. Для этого снова воспользуемся геометрической интерпретацией (2.26) функции  $\operatorname{Im} f'(\tau)$ . При возрастании  $t \geq 0$  на луче  $\tau = \mu_0 + e^{i\varphi}t$  угол  $\beta$  монотонно убывает от  $\pi$  до  $0$ , а угол  $\alpha$  сначала возрастает от  $0$  до некоторого  $\alpha_0$ , а потом убывает от  $\alpha_0$  до  $0$ . Покажем, что максимальное значение  $\alpha_0$  достигается на луче при  $t = t_1$ , откуда и будет следовать монотонное возрастание функции

$$\operatorname{Im} f'(\tau) = b(\pi - \beta) + (a + b)\alpha$$

на отрезке  $\tau = \mu_0 + e^{i\varphi}t$ ,  $0 \leq t \leq t_1$ .

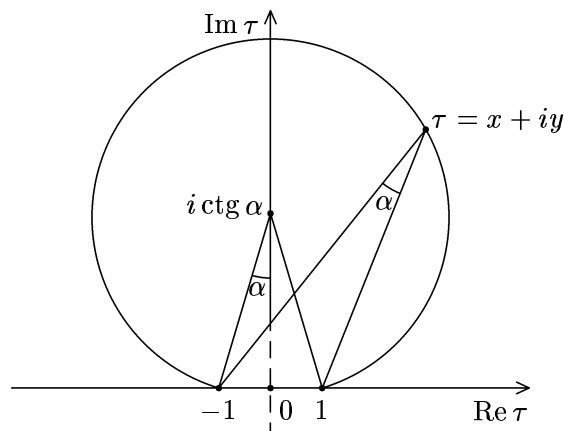


Рис. 7

Все точки  $\tau = x + iy$  в верхней полуплоскости, из которых вещественный отрезок  $[-1, 1]$  виден под заданным углом  $\alpha$ , располагаются на дуге окружности с центром в точке  $i \operatorname{ctg} \alpha$  радиуса  $1 / \sin \alpha$  (геометрическая интерпретация этого факта для острого угла  $\alpha$  приведена на рис. 7):

$$x^2 + y^2 - 2y \operatorname{ctg} \alpha = 1,$$

откуда

$$\alpha = \operatorname{arcctg} \frac{x^2 + y^2 - 1}{2y}.$$

На заданном луче  $x = \mu_0 + t \cos \varphi$ ,  $y = t \sin \varphi$  для  $t \geq 0$ ; поэтому

$$\begin{aligned} \frac{d\alpha}{dt} &= -\frac{(2x \cos \varphi + 2y \sin \varphi) \cdot 2y - 2 \sin \varphi \cdot (x^2 + y^2 - 1)}{(x^2 + y^2 - 1)^2 + (2y)^2} \\ &= -2 \sin \varphi \cdot \frac{t^2 - (\mu^2 - 1)}{(x^2 + y^2 - 1)^2 + 4y^2}, \end{aligned}$$

так что максимальное значение угол  $\alpha$  принимает при  $t = \sqrt{\mu_0^2 - 1}$ .

Из монотонного возрастания функции  $\operatorname{Im} f'(\tau)$  на отрезке  $\tau = \mu_0 + e^{i\varphi}t$ ,  $0 \leq t \leq t_1$ , следует, что

$$\operatorname{Im} f'(\mu_0 + e^{i\varphi}t) < \lambda\pi \quad \text{для } 0 \leq t < t_0, \quad \operatorname{Im} f'(\mu_0 + e^{i\varphi}t) > \lambda\pi \quad \text{для } t_0 < t \leq t_1. \quad (2.53)$$

Собирая оценки (2.52), (2.53) и пользуясь (2.49), получаем, что функция

$$\frac{d}{dt} \operatorname{Re}(f(\tau) - \lambda\pi i\tau) = \operatorname{Re} f'(\tau) \cos \varphi - (\operatorname{Im} f'(\tau) - \lambda\pi) \sin \varphi$$

на отрезке  $\tau = \mu_0 + e^{i\varphi}t$ ,  $0 \leq t \leq t_1$ , меняет знак с плюса на минус только при переходе через точку  $\tau_0 = \mu_0 + e^{i\varphi}t_0$ . Следовательно, точка  $\tau_0$  действительно является единственной точкой максимума на отрезке и всем контуре интегрирования, состоящем из этого отрезка и двух лучей.

Для доказательства асимптотической формулы (2.47) выпишем вклад точки перевала  $\tau_0$ :

$$(2\pi)^{1/2} e^{\frac{\pi i}{2} - \frac{i}{2} \arg f''(\tau_0)} |f''(\tau_0)|^{-1/2} e^{n(f(\tau_0) - \lambda\pi i\tau_0)} g(\tau_0) n^{-1/2} (1 + O(n^{-1})) \quad (2.54)$$

(см., например, [23, § 5.7, формула (5.7.2)]); при этом

$$\begin{aligned} f''(\tau) &= \frac{b}{\tau + 2r + 1} + \frac{b}{-\tau + 2r + 1} + \frac{a+b}{\tau - 1} - \frac{a+b}{\tau + 1} \\ &= 2 \frac{(a - 2rb)\tau^2 - (2r+1)(a - 2rb + 2ra)}{(\tau^2 - 1)(\tau^2 - (2r+1)^2)} \neq 0 \end{aligned}$$

в точках  $\tau$ , для которых  $\operatorname{Re} f'(\tau) = 0$  (и, в частности, в точке  $\tau_0$ ). Пользуясь равенством

$$f(\tau_0) - \lambda\pi i\tau_0 = f(\tau_0) - f'(\tau_0)\tau_0 = f_0(\tau_0)$$

и выделяя в (2.54) модуль и аргумент, получаем (2.47). Лемма доказана.

СЛЕДСТВИЕ 2.4. Пусть выполнены условия леммы 2.9 и, кроме того,

$$-\frac{1}{2} \arg f''(\tau_0) + \arg g(\tau_0) \not\equiv \frac{\pi}{2} \pmod{\pi\mathbb{Z}} \quad \text{или} \quad \operatorname{Im} f_0(\tau_0) \not\equiv 0 \pmod{\pi\mathbb{Z}}. \quad (2.55)$$

Тогда для интеграла

$$\operatorname{Re} J_{n,\lambda} = \frac{1}{2}(J_{n,\lambda} + J_{n,-\lambda}) = \frac{1}{2\pi i} \int_{\mu_0 - i\infty}^{\mu_0 + i\infty} e^{nf(\tau)} \cos(\lambda\pi n\tau) g(\tau) d\tau$$

выполняется предельное соотношение

$$\begin{aligned} \overline{\lim}_{n \rightarrow \infty} \frac{\log |\operatorname{Re} J_{n,\lambda}|}{n} &= \operatorname{Re} f_0(\tau_0) \\ &= \log \frac{2^{2(a-2rb)} |\tau_0 + 2r + 1|^{b(2r+1)} - |\tau_0 + 2r + 1|^{b(2r+1)}}{|\tau_0 + 1|^{a+b} |\tau_0 - 1|^{a+b}}. \end{aligned} \quad (2.56)$$

Более того, в случае

$$-\frac{1}{2} \arg f''(\tau_0) + \arg g(\tau_0) \equiv 0 \pmod{\pi\mathbb{Z}} \quad \text{и} \quad \operatorname{Im} f_0(\tau_0) \equiv 0 \pmod{\pi\mathbb{Z}} \quad (2.57)$$

интеграл  $J_{n,\lambda}$  имеет вещественную асимптотику (2.47) и, значит, верхний предел в (2.56) можно заменить на обычный.

ДОКАЗАТЕЛЬСТВО. Условие (2.55) обеспечивает ненулевую действительную часть коэффициента при  $n^{-1/2}$  в асимптотической формуле (2.47) для бесконечной последовательности номеров  $n$ ; именно на этой последовательности и достигается предельное соотношение (2.56). В случае (2.57) главный член в асимптотике (2.47) является вещественным числом, так что соотношение (2.56) с заменой верхнего предела на обычный следует непосредственно из (2.47).

Приступим к формулировке окончательных результатов о величине

$$\varkappa = \overline{\lim}_{n \rightarrow \infty} \frac{\log |I_n|}{n} = \overline{\lim}_{n \rightarrow \infty} \frac{\log |\tilde{I}_n|}{n} \quad (2.58)$$

(см. лемму 2.5). В случаях  $b = 1$  и  $b = 2$  результаты принимают простой вид, а верхние пределы в (2.58) меняются на обычные; поэтому мы выделяем эти случаи в отдельные утверждения.

ПРЕДЛОЖЕНИЕ 2.1. Пусть  $b = 1$ ,  $r$  положительное целое,  $a > 2r$  нечетно и  $\mu_1 \in (2r + 1, +\infty)$  – вещественный корень многочлена (2.21). Тогда

$$\varkappa = \lim_{n \rightarrow \infty} \frac{\log |I_n|}{n} = \log \frac{2^{2(a-2r)} (\mu_1 + 2r + 1)^{2r+1} (\mu_1 - 2r - 1)^{2r+1}}{(\mu_1 + 1)^{a+1} (\mu_1 - 1)^{a+1}}. \quad (2.59)$$

**ДОКАЗАТЕЛЬСТВО.** В случае  $b = 1$  на контуре интегрирования для вычисления асимптотики интеграла  $J_{n,1}$  в доказательстве леммы 2.9 (луч  $\tau = \mu_0 + it$ ,  $t \leq 0$ , и луч  $\tau = t$ ,  $t \geq \mu_0$ , идущий по верхнему берегу разреза  $[2r+1, +\infty)$ ) точка  $\tau = \mu_1$  является единственным максимумом функции  $\operatorname{Re} f(\tau)$ . Отсюда, в частности, следует, что  $f''(\mu_1) < 0$  и, значит,

$$-\frac{1}{2} \arg f''(\mu_1) \equiv \frac{\pi}{2} \pmod{\pi\mathbb{Z}}.$$

Кроме того, при  $b = 1$  для функции (2.13) имеем

$$\arg g(\mu_1) = -\frac{\pi}{2} \quad \text{и} \quad \operatorname{Im} f_0(\mu_1) = -(2r+1)\pi.$$

Применяя теперь следствие 2.4 с  $\lambda = 1$  и  $\tau_0 = \mu_1$ , получаем, что выполнено условие (2.57) и

$$\lim_{n \rightarrow \infty} \frac{\log |\operatorname{Re} J_{n,1}|}{n} = \operatorname{Re} f_0(\mu_1),$$

откуда согласно формуле  $\tilde{I}_n = -\operatorname{Re} J_{n,1}$  (см. следствие 2.1) и лемме 2.5 получаем предельное соотношение (2.59).

**ПРЕДЛОЖЕНИЕ 2.2.** Пусть  $b = 2$ ,  $r$  положительное целое,  $a \geq 4r$  четно и  $\mu_0 \in (1, 2r+1)$  – вещественный корень многочлена (2.21). Тогда

$$\varkappa = \lim_{n \rightarrow \infty} \frac{\log |I_n|}{n} = \log \frac{2^{2(a-4r)} (\mu_0 + 2r+1)^{2(2r+1)} (-\mu_0 + 2r+1)^{2(2r+1)}}{(\mu_0 + 1)^{a+2} (\mu_0 - 1)^{a+2}}. \quad (2.60)$$

**ДОКАЗАТЕЛЬСТВО.** В случае  $b = 2$  имеем  $\tilde{I}_n = -J_{n,0}$ , а точка  $\tau = \mu_0$  является единственным максимумом на контуре интегрирования  $\tau = \mu_0 + it$ ,  $t \in \mathbb{R}$ , для вычисления асимптотики интеграла  $J_{n,0}$  в доказательстве леммы 2.9. Поэтому  $f''(\mu_0) > 0$  и, значит,

$$-\frac{1}{2} \arg f''(\mu_0) \equiv 0 \pmod{\pi\mathbb{Z}}.$$

Как легко заметить,

$$\arg g(\mu_1) = 0, \quad \operatorname{Im} f_0(\mu_1) = 0.$$

Применяя теперь следствие 2.4 с  $\lambda = 0$  и  $\tau_0 = \mu_0$ , получаем, что выполнено условие (2.57) и

$$\lim_{n \rightarrow \infty} \frac{\log |J_{n,0}|}{n} = \operatorname{Re} f_0(\mu_0) = f_0(\mu_0),$$

откуда согласно лемме 2.5 получаем предельное соотношение (2.60).

**ЛЕММА 2.10.** Пусть вещественный корень  $\mu_1 \in (2r+1, +\infty)$  многочлена (2.21) удовлетворяет неравенству

$$\mu_1 \leq 2r+1 + \min \left\{ \frac{br(r+1)}{2(a+b)}, \frac{r(r+1)}{3(2r+1)} \right\}. \quad (2.61)$$

Тогда в области  $\operatorname{Re} \tau > 0$ ,  $\operatorname{Im} \tau \geq 0$  на кривой (2.35) функция  $\operatorname{Re} f_0(\tau)$  возрас-тает как функция от  $\operatorname{Re} \tau$ .

**ДОКАЗАТЕЛЬСТВО.** Как было показано в доказательстве леммы 2.7 (см. также следствие 2.3), на гладкой кривой (2.35) в области  $\operatorname{Re} \tau > 0$ ,  $\operatorname{Im} \tau \geq 0$  величина  $\rho = |\tau - (2r + 1)|/2$ ,  $\tau = x + iy$ , может быть представлена как неявно заданная функция от  $x$ ,  $\mu_0 \leq x \leq \mu_1$ , которая непрерывно дифференцируема и возрастает. Пользуясь формулами (2.29), (2.30), на кривой (2.35) после дифференцирования по  $x$  получаем

$$\begin{aligned} & 2\rho\rho' \left( \frac{b}{\rho^2 + (2r + 1)x} - \frac{b}{\rho^2} + \frac{a+b}{\rho^2 + rx - r(r+1)} - \frac{a+b}{\rho^2 + (r+1)x - r(r+1)} \right) \\ & + \left( \frac{b(2r+1)}{\rho^2 + (2r+1)x} + \frac{(a+b)r}{\rho^2 + rx - r(r+1)} - \frac{(a+b)(r+1)}{\rho^2 + (r+1)x - r(r+1)} \right) = 0 \end{aligned}$$

или после несложных преобразований

$$2\rho\rho'x \left( \frac{b(2r+1)}{|\tau \pm (2r+1)|^2} - \frac{a+b}{|\tau \pm 1|^2} \right) = \frac{b(2r+1)\rho^2}{|\tau \pm (2r+1)|^2} + \frac{(a+b)(r(r+1) - \rho^2)}{|\tau \pm 1|^2}. \quad (2.62)$$

Таким образом, на кривой (2.35) функцию  $\operatorname{Re} f_0(\tau)$  можно рассматривать как функцию от  $x$ ,  $\mu_0 \leq x \leq \mu_1$ ; в соответствии с формулами (2.29)

$$\tilde{f}_0(x) := 2 \operatorname{Re} f_0(\tau) = \log \frac{\rho^{2b(2r+1)} (\rho^2 + (2r+1)x)^{b(2r+1)}}{(\rho^2 + rx - r(r+1))^{a+b} (\rho^2 + (r+1)x - r(r+1))^{a+b}},$$

откуда с помощью (2.29) и (2.62) находим

$$\begin{aligned} \tilde{f}'_0(x) &= 2\rho\rho' \left( \frac{b(2r+1)}{\rho^2} + \frac{b(2r+1)}{\rho^2 + (2r+1)x} \right. \\ &\quad \left. - \frac{a+b}{\rho^2 + rx - r(r+1)} - \frac{a+b}{\rho^2 + (r+1)x - r(r+1)} \right) \\ &+ \left( \frac{b(2r+1)^2}{\rho^2 + (2r+1)x} - \frac{(a+b)r}{\rho^2 + rx - r(r+1)} - \frac{(a+b)(r+1)}{\rho^2 + (r+1)x - r(r+1)} \right) \\ &= 32\rho\rho'(2\rho^2 + (2r+1)x) \left( \frac{b(2r+1)}{|\tau \pm (2r+1)|^2} - \frac{a+b}{|\tau \pm 1|^2} \right) \\ &+ 16(2r+1) \left( \frac{b(2r+1)\rho^2}{|\tau \pm (2r+1)|^2} + \frac{(a+b)(r(r+1) - \rho^2)}{|\tau \pm 1|^2} \right) \\ &+ \frac{64\rho\rho'(a+b)r(r+1)}{|\tau \pm 1|^2} - \frac{32(a+b)r(r+1)x}{|\tau \pm 1|^2} \\ &= \frac{32(\rho^2 + (2r+1)x)}{x} \left( \frac{b(2r+1)\rho^2}{|\tau \pm (2r+1)|^2} + \frac{(a+b)(r(r+1) - \rho^2)}{|\tau \pm 1|^2} \right) \\ &+ \frac{32(a+b)r(r+1)}{|\tau \pm 1|^2} (2\rho\rho' - x). \end{aligned} \quad (2.63)$$

На кривой (2.35) функция  $\rho = \rho(x)$  возрастает, так что  $\rho' \geq 0$ . Следовательно, продолжая цепочку (2.63), получаем

$$\begin{aligned}\tilde{f}'_0(x) &\geqslant \frac{32(\rho^2 + (2r+1)x)}{x} \frac{b(2r+1)\rho^2}{|\tau \pm (2r+1)|^2} + 32(2r+1) \frac{(a+b)(r(r+1) - \rho^2)}{|\tau \pm 1|^2} \\ &\quad - \frac{32(a+b)r(r+1)x}{|\tau \pm 1|^2} \\ &= \frac{2b(2r+1)}{x} - \frac{2(a+b)((2r+1)\rho^2 + r(r+1)x - r(r+1)(2r+1))}{(\rho^2 + rx - r(r+1))(\rho^2 + (r+1)x - r(r+1))}.\end{aligned}$$

Выберем

$$\varepsilon = \min \left\{ \frac{br(r+1)}{2(a+b)}, \frac{r(r+1)}{3(2r+1)} \right\}; \quad (2.64)$$

по условию  $\varepsilon \geqslant \mu_1 - 2r - 1$ . Согласно локализации кривой (2.35) (см. следствие 2.3) имеем

$$2r+1-\varepsilon \leqslant x \leqslant 2r+1+\varepsilon, \quad 0 < \rho \leqslant \frac{\varepsilon}{2},$$

откуда

$$\begin{aligned}\tilde{f}'_0(x) &> \frac{2b(2r+1)}{2r+1+\varepsilon} - \frac{2(a+b)((2r+1)\varepsilon/4 + r(r+1))\varepsilon}{r(r+1)(r-\varepsilon)(r+1-\varepsilon)} \\ &> 2(2r+1) \left( \frac{b}{2r+1+\varepsilon} - \frac{(a+b)(2r+1+\varepsilon)\varepsilon}{4r(r+1)(r-\varepsilon)(r+1-\varepsilon)} \right) \\ &= 2(2r+1) \cdot \frac{4br(r+1)(r-\varepsilon)(r+1-\varepsilon) - \varepsilon(a+b)(2r+1+\varepsilon)^2}{4r(r+1)(r-\varepsilon)(r+1-\varepsilon)(2r+1+\varepsilon)}. \quad (2.65)\end{aligned}$$

Пользуясь теперь неравенствами

$$\begin{aligned}br(r+1) &\geqslant \frac{\varepsilon}{2}(a+b), \quad \text{если } \varepsilon \leqslant \frac{br(r+1)}{2(a+b)}, \\ 8(r-\varepsilon)(r+1-\varepsilon) &> (2r+1+\varepsilon)^2, \quad \text{если } \varepsilon \leqslant \frac{r(r+1)}{3(2r+1)},\end{aligned}$$

из (2.64), (2.65) окончательно заключаем, что  $\tilde{f}'_0(x) > 0$ . Это означает, что функция  $\operatorname{Re} f_0(\tau)$  как функция от  $x = \operatorname{Re} \tau$  возрастает на кривой (2.35), что и требовалось доказать.

**ПРЕДЛОЖЕНИЕ 2.3.** *Пусть  $a, b, r$  – целые положительные числа,  $a+b$  четно,  $b \geqslant 3$ ,  $a \geqslant 2rb$ , и вещественный корень  $\mu_1 \in (2r+1, +\infty)$  многочлена (2.21) удовлетворяет условию (2.61). Положим*

$$\varkappa := \log \frac{2^{2(a-2rb)} |\tau_0 + 2r+1|^{b(2r+1)} - \tau_0 + 2r+1|^{b(2r+1)}}{|\tau_0 + 1|^{a+b} |\tau_0 - 1|^{a+b}},$$

где  $\tau_0$  – комплексный корень многочлена (2.21) в области  $\operatorname{Re} \tau > 0$ ,  $\operatorname{Im} \tau > 0$  с максимально возможной частью  $\operatorname{Re} \tau_0$ . Пусть, кроме того, выполнено условие (2.55). Тогда

$$\varlimsup_{n \rightarrow \infty} \frac{\log |I_n|}{n} = \varkappa. \quad (2.66)$$

**ДОКАЗАТЕЛЬСТВО.** Согласно (2.61) имеем  $\mu_1 - (2r + 1) < r/3$ , так что условия (2.37), (2.46) выполнены. По лемме 2.10 наибольшее значение функции  $\operatorname{Re} f_0(\tau)$  на корнях многочлена (2.21) достигается при  $\tau = \tau_0$ , для которого  $\lambda = k = b - 2$ . Согласно следствию 2.4 асимптотика интеграла (2.20) определяется вкладом величины  $\operatorname{Re} J_{n,b-2}$ , так как вклады остальных величин экспоненциально малы по сравнению с  $\operatorname{Re} J_{n,b-2}$ , а коэффициент  $c_{b-2}$  в представлении (2.20) ненулевой в соответствии с утверждением б) леммы 2.2. Следовательно,

$$\overline{\lim}_{n \rightarrow \infty} \frac{\log |\tilde{I}_n|}{n} = \overline{\lim}_{n \rightarrow \infty} \frac{\log |\operatorname{Re} J_{n,b-2}|}{n} = \varkappa.$$

Применяя теперь лемму 2.5, получаем требуемое предельное соотношение (2.66).

### § 3. Оценки коэффициентов линейных форм

Первым результатом будет верхняя оценка для коэффициентов линейных форм.

**ПРЕДЛОЖЕНИЕ 3.1.** *Пусть  $a, b, r$  – целые положительные числа,  $a+b$  четно,  $a \geq 2rb$ , линейные формы (1.5) определяются соотношениями (1.2), (1.1). Тогда для коэффициентов  $\bar{A}_s$ ,  $s = 0$  или  $s = b+1, \dots, a+b-1$ , справедлива оценка*

$$\begin{aligned} \overline{\lim}_{n \rightarrow \infty} \frac{\log |\bar{A}_s|}{n} &\leq 2b(2r+1) \log(2r+1) + 2(a-2rb) \log 2, \\ s = 0 \text{ или } s &= b+1, \dots, a+b-1 \text{ нечетно.} \end{aligned} \quad (3.1)$$

Более того, в случае четного  $a$  оценка (3.1) точна:

$$\begin{aligned} \lim_{n \rightarrow \infty} \frac{\log |\bar{A}_s|}{n} &= 2b(2r+1) \log(2r+1) + 2(a-2rb) \log 2, \\ s = b+1, \dots, a+b-1 \text{ нечетно.} \end{aligned} \quad (3.2)$$

**ДОКАЗАТЕЛЬСТВО.** Воспользуемся разложением (1.6), в котором коэффициенты могут быть вычислены с помощью формул

$$A_{k,j} = \frac{1}{(a-j)!} \left. \frac{d^{a-j}}{dt^{a-j}} (R(t)(t+k)^a) \right|_{t=-k}, \quad k = 0, \pm 1, \dots, \pm n, \quad j = 1, 2, \dots, a.$$

Прежде всего докажем, что

$$\max_{k=0, \pm 1, \dots, \pm n} |A_{k,a}| = |A_{0,a}| = \frac{((2r+1)n)!^{2b} (2n)!^{a-2rb}}{n!^{2(a+b)}}. \quad (3.3)$$

Поскольку  $|A_{k,a}| = |A_{-k,a}|$  для  $k = 0, 1, \dots, n$ , достаточно показать, что величина  $|A_{k,a}|$  убывает с ростом  $k$  от 0 до  $n$ . Последнее утверждение проверяется непосредственно:

$$\begin{aligned} \frac{|A_{k,a}|}{|A_{k-1,a}|} &= \frac{((2r+1)n+k)^b}{((2r+1)n-k+1)^b} \cdot \frac{(n-k+1)^{a+b}}{(n+k)^{a+b}} \\ &= \left( \frac{((2r+1)n+k) \cdot (n-k+1)}{((2r+1)n-k+1) \cdot (n+k)} \right)^b \cdot \left( \frac{n-k+1}{n+k} \right)^{a+b} \\ &= \left( \frac{(2r+1)n^2 - k(k-1) + n(-2rk+2r+1)}{(2r+1)n^2 - k(k-1) + n(2rk+1)} \right)^b \cdot \left( \frac{n-(k-1)}{n+k} \right)^{a+b} \\ &< 1, \quad k = 1, \dots, n. \end{aligned}$$

Зафиксируем теперь целое  $k$ ,  $|k| \leq n$ , и обозначим через  $g_k(t)$  логарифмическую производную функции  $R(t)(t+k)^a$ :

$$g_k(t) = b \sum_{\substack{l=-n \\ l \neq k}}^{(2r+1)n} \frac{1}{t+l} - (a+b) \sum_{\substack{l=-n \\ l \neq k}}^n \frac{1}{t+l}.$$

Тогда для  $j = 0, 1, 2, \dots$  модуль величины

$$\begin{aligned} \frac{1}{j!} \left. \frac{d^j g_k(t)}{dt^j} \right|_{t=-k} &= b \sum_{l=-(2r+1)n}^{-(n+1)} \frac{(-1)^j}{(l-k)^{j+1}} + b \sum_{l=n+1}^{(2r+1)n} \frac{(-1)^j}{(l-k)^{j+1}} \\ &\quad - a \sum_{\substack{l=-n \\ l \neq k}}^n \frac{(-1)^j}{(l-k)^{j+1}} \end{aligned}$$

ограничен сверху числом  $2(2rb+a)n$  (каждое слагаемое в правой части тривиально оцениваем единицей). Применяя правило Лейбница для дифференцирования произведения, находим

$$\begin{aligned} A_{k,a-j} &= \frac{1}{j!} \left. \frac{d^{j-1}}{dt^{j-1}} (g_k(t) \cdot R(t)(t+k)^a) \right|_{t=-k} \\ &= \frac{1}{j} \sum_{m=0}^{j-1} \frac{1}{(j-1-m)!} \left. \frac{d^{j-1-m} g_k(t)}{dt^{j-1-m}} \right|_{t=-k} \cdot A_{k,a-m}, \quad j = 1, \dots, a-1, \end{aligned} \quad (3.4)$$

откуда

$$\begin{aligned} |A_{k,a-j}| &\leq 2(2rb+a)n \cdot \frac{1}{j} \sum_{m=0}^{j-1} |A_{k,a-m}| \\ &\leq 2(2rb+a)n \cdot \max_{m=0,1,\dots,j-1} |A_{k,a-m}|, \quad j = 1, \dots, a-1. \end{aligned} \quad (3.5)$$

Пользуясь методом математической индукции, из (3.5) получаем оценку

$$|A_{k,a-j}| \leq (2(2rb+a)n)^{j-1} |A_{k,a}|, \quad j = 1, \dots, a.$$

Следовательно, в соответствии с (3.3) выполнено

$$\begin{aligned} |A_{k,a-j}| &\leq (2(2rb+a)n)^{a-1} \frac{((2r+1)n)!^{2b}(2n)!^{a-2rb}}{n!^{2(a+b)}}, \\ k &= 0, \pm 1, \dots, \pm n, \quad j = 1, \dots, a, \end{aligned}$$

откуда согласно (1.11), (1.12)

$$\begin{aligned} |\bar{A}_s| &\leq 2^{a+b-2} (2n+1)^2 (2(2rb+a)n)^{a-1} \frac{((2r+1)n)!^{2b}(2n)!^{a-2rb}}{n!^{2(a+b)}}, \\ s &= 0 \text{ или } s = b+1, \dots, a+b-1. \end{aligned} \quad (3.6)$$

Пределевые соотношения (3.1) получаются из (3.6) с помощью формулы Стирлинга (2.17) для значений  $\Gamma(z) = (z-1)!$  при целых положительных значениях  $z \rightarrow \infty$ .

Если параметр  $a$  является четным числом, то для четных  $j$ ,  $0 \leq j < a$ , из соотношений (3.4) при  $k = 0$  получаем  $|A_{0,a-j}| \geq |A_{0,a}|$ ; кроме того, в случае четного  $a$  и нечетного  $s$ ,  $b < s < a + b$ , все слагаемые в правой части (1.11) имеют одинаковый знак, значит,

$$|\bar{A}_s| \geq |A_{0,a}|, \quad s = b+1, \dots, a+b-1 \text{ нечетно.}$$

Таким образом, при четном  $a$  применение формулы Стирлинга дает оценку асимптотики коэффициентов линейных форм (1.5) не только сверху, но и снизу. Это доказывает предельные соотношения (3.2) и завершает доказательство предложения.

Оценка (3.1) оказывается пригодной даже для нечетных значений параметра  $a$ . Однако результаты, полученные в § 2, позволяют вычислить асимптотику коэффициентов (1.11) и для нечетного  $a$ ; именно этому и посвящена оставшаяся часть этого параграфа.

Для целого положительного  $m$  в окрестности точки  $t = 0$  справедливо разложение

$$\left(\frac{\sin \pi t}{\pi}\right)^{2m} = \sum_{l=m}^{\infty} d_l^{(m)} t^{2l}, \quad (3.7)$$

где  $d_l^{(m)}$ ,  $l = m, m+1, \dots$  – некоторые вещественные числа, причем  $d_m^{(m)} = 1$ .

**ЛЕММА 3.1.** *Пусть  $a$  нечетно. Тогда коэффициенты линейной формы (1.5) удовлетворяют рекуррентным соотношениям*

$$\begin{aligned} \bar{A}_{2m+b} = & -\frac{(2m+b-1)!}{(2m)!(b-1)!} \frac{(-1)^b}{\pi i} \int_{iM-\infty}^{iM+\infty} \left(\frac{\sin \pi t}{\pi}\right)^{2m} R(t) dt \\ & - \sum_{l=m+1}^{(a-1)/2} \frac{(2l)!(2m+b-1)!}{(2m)!(2l+b-1)!} d_l^{(m)} \bar{A}_{2l+b}, \quad m = 1, 2, \dots, \frac{a-1}{2}, \end{aligned} \quad (3.8)$$

где  $M > 0$  – произвольная вещественная постоянная.

**ДОКАЗАТЕЛЬСТВО.** Для целого положительного  $m$  согласно (3.7)

$$\left(\frac{\sin \pi t}{\pi}\right)^{2m} = \left(\frac{\sin \pi(t+k)}{\pi}\right)^{2m} = \sum_{l=m}^{\infty} d_l^{(m)} (t+k)^{2l}$$

– разложение в окрестности точки  $t = -k \in \mathbb{Z}$ .

Для функции (1.1) ввиду (1.6) в окрестности точки  $t = -k$ , где  $k = 0, \pm 1, \dots, \pm n$ , имеем

$$R(t) = \frac{A_{k,a}}{(t+k)^a} + \frac{A_{k,a-1}}{(t+k)^{a-1}} + \dots + \frac{A_{k,1}}{t+k} + O(1)$$

и  $R(t) = O(1)$  в окрестности  $t = -k \in \mathbb{Z}$ ,  $|k| > n$ . Следовательно, для  $m < a/2$  и любого целого  $k$  выполнено

$$\operatorname{Res}_{t=-k} \left( \left( \frac{\sin \pi t}{\pi} \right)^{2m} R(t) \right) = \begin{cases} 0, & \text{если } |k| > n, \\ \sum_{l=m}^{(a-1)/2} d_l^{(m)} A_{k,2l+1}, & \text{если } |k| \leq n. \end{cases}$$

Поэтому если замкнутый контур  $\mathcal{L}$  обходит в положительном направлении точки  $0, \pm 1, \dots, \pm n$ , то

$$\begin{aligned} \frac{1}{2\pi i} \oint_{\mathcal{L}} \left( \frac{\sin \pi t}{\pi} \right)^{2m} R(t) dt &= (-1)^{b-1} \sum_{l=m}^{(a-1)/2} \frac{(2l)! (b-1)!}{(2l+b-1)!} d_l^{(m)} \bar{A}_{2l+b} \\ &= (-1)^{b-1} \left( \frac{(2m)! (b-1)!}{(2m+b-1)!} \bar{A}_{2m+b} + \sum_{l=m+1}^{(a-1)/2} \frac{(2l)! (b-1)!}{(2l+b-1)!} d_l^{(m)} \bar{A}_{2l+b} \right) \end{aligned} \quad (3.9)$$

в соответствии с формулами (1.11) и соотношением  $d_m^{(m)} = 1$ . Из (3.9) получаем рекуррентные формулы

$$\begin{aligned} \bar{A}_{2m+b} &= \frac{(2m+b-1)!}{(2m)! (b-1)!} \frac{(-1)^b}{2\pi i} \oint_{\mathcal{L}} \left( \frac{\sin \pi t}{\pi} \right)^{2m} R(t) dt \\ &\quad - \sum_{l=m+1}^{(a-1)/2} \frac{(2l)! (2m+b-1)!}{(2m)! (2l+b-1)!} d_l^{(m)} \bar{A}_{2l+b}, \quad m = 1, 2, \dots, \frac{a-1}{2}. \end{aligned} \quad (3.10)$$

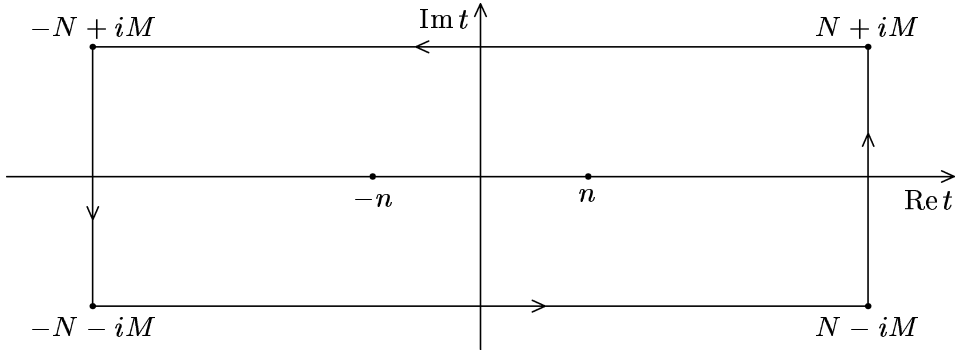


Рис. 8

Выберем теперь в качестве контура интегрирования  $\mathcal{L}$  прямоугольник с вершинами  $\pm N \pm iM$ , где  $M > 0$  – фиксированная вещественная постоянная, а  $N > n$  достаточно велико (см. рис. 8). При  $N \rightarrow \infty$  на боковых сторонах прямоугольника выполнены оценки

$$\left| \frac{\sin \pi t}{\pi} \right| \leq \frac{e^{\pi M}}{\pi}, \quad R(t) = O(N^{-2}),$$

поэтому для  $m = 1, 2, \dots, (a - 1)/2$  имеем

$$\begin{aligned} & \frac{1}{2\pi i} \oint_{\mathcal{L}} \left( \frac{\sin \pi t}{\pi} \right)^{2m} R(t) dt \\ &= \frac{1}{2\pi i} \left( \int_{iM+N}^{iM-N} + \int_{-iM-N}^{-iM+N} \right) \left( \frac{\sin \pi t}{\pi} \right)^{2m} R(t) dt + O(N^{-1}) \quad \text{при } N \rightarrow \infty, \end{aligned} \quad (3.11)$$

где постоянная в  $O(N^{-1})$  зависит только от  $M$ . Ввиду нечетности подынтегральной функции в (3.11) (см. (1.8)) и симметричности контура  $\mathcal{L}$  относительно 0 достаточно провести интегрирование по одной половине контура, а затем удвоить полученный результат. Переходя теперь к пределу при  $N \rightarrow \infty$ , из соотношений (3.10) получаем требуемые рекуррентные формулы (3.8). Лемма доказана.

Как следует из леммы 3.1, асимптотическое поведение коэффициентов линейной формы (1.5) напрямую связано с асимптотикой интегралов

$$\begin{aligned} K_{n,m} &= \frac{1}{\pi i} \int_{iM-\infty}^{iM+\infty} \left( \frac{\sin \pi t}{\pi} \right)^{2m} R_n(t) dt \\ &= \frac{(-1)^{bn}}{\pi i} \int_{iM-\infty}^{iM+\infty} \left( \frac{\sin \pi t}{\pi} \right)^{2m+b} \\ &\times \frac{\Gamma(\pm t + (2r+1)n+1)^b \Gamma(t-n)^{a+b} (2n)!^{a-2rb}}{\Gamma(t+n+1)^{a+b}} dt, \quad m = 1, 2, \dots, \frac{a-1}{2}, \end{aligned} \quad (3.12)$$

при  $n \rightarrow \infty$ , где мы воспользовались формулой (2.15). Так же, как и в § 2, считаем, что в  $t$ -плоскости сделаны разрезы  $(-\infty, n]$  и  $[(2r+1)n, +\infty)$ .

**ЛЕММА 3.2** (ср. с [23, § 6.5]). *Для любого  $y_0 > 0$  в области  $\operatorname{Im} z \geq y_0$  выполнено асимптотическое равенство*

$$\log \Gamma(z) = \left( z - \frac{1}{2} \right) \log z - z + \log \sqrt{2\pi} + O(|z|^{-1}) + O(e^{-2\pi \operatorname{Im} z}). \quad (3.13)$$

**ДОКАЗАТЕЛЬСТВО.** Асимптотическое соотношение (2.17) справедливо в области  $|\arg z| < \pi - \varepsilon$ , но тождество

$$\Gamma(z)\Gamma(-z) = -\frac{\pi}{z \sin \pi z} = \frac{2\pi i}{ze^{-\pi iz}(1-e^{2\pi iz})} \quad (3.14)$$

позволяет выписать асимптотику и в квадранте  $\operatorname{Im} z > 0$ ,  $\operatorname{Re} z < 0$ . Делая в  $z$ -плоскости разрез  $(-\infty, 0]$  и фиксируя главные значения аргумента, согласно (2.17), (3.14) в указанном квадранте имеем

$$\begin{aligned} \log \Gamma(z) &= \log(2\pi i) - \log z + \pi iz - \log(1 - e^{2\pi iz}) - \log \Gamma(-z) \\ &= \left( \log(2\pi) + \pi i \left( z + \frac{1}{2} \right) - \log z - \log(1 - e^{2\pi iz}) \right) \\ &- \left( \left( -z - \frac{1}{2} \right) (\log z - \pi i) + z + \log \sqrt{2\pi} + O(|z|^{-1}) \right) \\ &= \left( z - \frac{1}{2} \right) \log z - z + \log \sqrt{2\pi} + O(|z|^{-1}) + \log(1 - e^{2\pi iz}). \end{aligned} \quad (3.15)$$

Остается заметить, что в области  $\operatorname{Im} z \geqslant y_0$  выполнено  $|e^{-2\pi iz}| \leqslant u_0 := e^{-2\pi y_0} < 1$ , так что для завершения доказательства формулы (3.13) остается воспользоваться в (3.15) соотношением  $|\ln(1 - u)| \leqslant C|u|$  для  $|u| \leqslant u_0$  с некоторой постоянной  $C$ , зависящей только от  $u_0$ .

**ЛЕММА 3.3.** *Пусть  $\mu$  – положительная вещественная постоянная. Тогда при  $n \rightarrow \infty$  для интегралов (3.12) выполнено*

$$K_{n,m} = \tilde{K}_{n,m} \cdot \frac{(-1)^{bn}(2\sqrt{\pi n})^{a-2rb}2^b}{\pi^{2m}n^{a-1}} \cdot (1 + O(n^{-1}) + O(e^{-2\pi n\mu})),$$

где

$$\tilde{K}_{n,m} = \frac{1}{\pi i} \int_{i\mu-\infty}^{i\mu+\infty} \sin^{2m+b} \pi n\tau \cdot e^{nf(\tau)} g(\tau) d\tau, \quad m = 1, 2, \dots, \frac{a-1}{2}, \quad (3.16)$$

а функции  $f(\tau), g(\tau)$  определены равенствами (2.12), (2.13) (см. также замечание 2.1).

**ДОКАЗАТЕЛЬСТВО.** Доказательство полностью повторяет доказательство леммы 2.5 с заменой асимптотики (2.17) на (3.13) для интегрирования по контуру  $\operatorname{Im} t = M = \mu n$ ,  $\mu > 0$ .

**ЛЕММА 3.4.** *Пусть вещественный корень  $\mu_1 \in (2r+1, +\infty)$  многочлена (2.21) удовлетворяет условию (2.61), а минимальный по абсолютной величине мнимый корень  $\eta_1 \in (0, +i\infty)$  – условию*

$$|\eta_1| < \min \left\{ \sqrt{3}, \frac{\log(r^2 + r)}{\pi} \right\}. \quad (3.17)$$

Тогда при  $n \rightarrow \infty$  для интегралов (3.16) выполнено

$$\begin{aligned} |\tilde{K}_{n,(a-1)/2}| &= \frac{|g(\eta_1)|}{|f''(\eta_1)|^{1/2} 2^{a+b-1/2} \pi^{1/2} n^{1/2}} e^{n \operatorname{Re} f_0(\eta_1)} (1 + O(n^{-1})), \\ |\tilde{K}_{n,m}| &= |\tilde{K}_{n,(a-1)/2}| \cdot O(e^{-2\pi n\mu}), \quad m = 1, 2, \dots, \frac{a-1}{2} - 1, \end{aligned} \quad (3.18)$$

где постоянная  $\mu$  определена равенством  $i\mu = \eta_1$ .

**ДОКАЗАТЕЛЬСТВО.** Согласно лемме 2.7 корню  $i\mu = \eta_1$  многочлена (2.21) отвечает  $\lambda = a + b - 1$  в уравнении (2.22).

Воспользуемся равенством

$$\begin{aligned} \sin^{2m+b} \pi n\tau &= \left( \frac{e^{\pi i n\tau} - e^{-\pi i n\tau}}{2i} \right)^{2m+b} \\ &= \chi_m \frac{(-1)^{(a+b)/2}}{2^{a+b-1} i} e^{-\pi i(a+b-1)n\tau} + \sum_{l=1}^{a+b-1} h_{m,l} i e^{-\pi i(a+b-2l-1)n\tau}, \\ m &= 1, 2, \dots, \frac{a-1}{2}, \end{aligned}$$

где

$$\chi_m = \begin{cases} 1, & \text{если } m = \frac{a-1}{2}, \\ 0 & \text{иначе,} \end{cases}$$

а  $h_{m,l}$ ,  $m = 1, \dots, (a-1)/2$ ,  $l = 1, \dots, a+b-1$ , – некоторые вещественные коэффициенты, и запишем интегралы (3.16) в виде

$$\tilde{K}_{n,m} = -\chi_m \frac{(-1)^{(a+b)/2}}{2^{a+b-1}\pi} J_{n,a+b-1} + \frac{1}{\pi} \sum_{l=1}^{a+b-1} h_{m,l} J_{n,a+b-2l-1}, \quad (3.19)$$

$$m = 1, 2, \dots, \frac{a-1}{2},$$

где

$$J_{n,k} = \int_{i\mu-\infty}^{i\mu+\infty} e^{n(f(\tau)-k\pi i\tau)} g(\tau) d\tau, \quad k = 0, \pm 1, \dots, \pm(a+b-1). \quad (3.20)$$

Изучим сначала асимптотику интеграла  $J_{n,a+b-1}$ . Для этого заметим, что путь интегрирования проходит через точку перевала  $\eta_1 = i\mu$ , и докажем, что точка  $x = 0$  является максимумом функции

$$\tilde{f}(x) = \operatorname{Re}(f(\tau) - (a+b-1)\pi i\tau) \Big|_{\tau=x+i\mu}. \quad (3.21)$$

Имеем

$$\tilde{f}'(x) = \operatorname{Re}(f'(\tau) - (a+b-1)\pi i) \Big|_{\tau=x+i\mu} = \operatorname{Re} f'(x+i\mu)$$

и, значит, единственными кандидатами в точки максимума функции (3.21), кроме  $x = 0$ , являются  $x = \pm x_0$ , где  $x_0 + i\mu$  – та точка пересечения луча  $\tau = x + i\mu$ ,  $x > 0$ , с кривой  $\operatorname{Re} f'(\tau) = 0$  в области  $\operatorname{Re} \tau > 0$  (см. рис. 4), в которой  $\operatorname{Re} f'(\tau)$  меняет знак с + на – (если таковая существует). С другой стороны,

$$f(\tau) - (a+b-1)\pi i\tau = f_0(\tau) + f'(\tau)\tau - (a+b-1)\pi i\tau$$

для функции  $f_0(\tau)$ , определенной в (2.48); поэтому

$$\begin{aligned} \tilde{f}(\pm x_0) &= \tilde{f}(x_0) = \operatorname{Re} f_0(x_0 + i\mu) - \mu \operatorname{Im} f'(x_0 + i\mu) + (a+b-1)\pi\mu \\ &< \operatorname{Re} f_0(\mu_1) + (a+b-1)\pi\mu \end{aligned} \quad (3.22)$$

согласно лемме 2.10 и неравенству  $\operatorname{Im} f'(x_0 + i\mu) > 0$ . Для оценки сверху величины  $\operatorname{Re} f_0(\mu_1)$  воспользуемся неравенством

$$2r+1 < \mu_1 \leq 2r+1+2\varepsilon, \quad \varepsilon := \frac{r(r+1)}{6(2r+1)}, \quad (3.23)$$

вытекающим из (2.61). Тогда

$$\operatorname{Re} f_0(\mu_1) < b(2r+1) \log((2r+1+\varepsilon)\varepsilon) - (a+b) \log((r+1)r) < -(a-2rb) \log(r^2+r),$$

поскольку  $(2r + 1 + \varepsilon)\varepsilon < r(r + 1)$  согласно (3.23). Продолжая оценку (3.22) и пользуясь неравенством (3.17), получим

$$\begin{aligned}\tilde{f}(\pm x_0) &< -(a - 2rb) \log(r^2 + r) + (a + b)\pi\mu \\ &\leq -(a - 2rb) \log(r^2 + r) + (a + b)\log(r^2 + r) \\ &= b(2r + 1)\log(r^2 + r).\end{aligned}\tag{3.24}$$

Теперь, чтобы оценить значение  $\tilde{f}(0)$  снизу, применим неравенства

$$|i\mu \pm (2r + 1)| > 2r + 1, \quad |i\mu \pm 1| \leq |i\sqrt{3} \pm 1| = 2.$$

Тогда

$$\begin{aligned}\tilde{f}(0) &= \operatorname{Re} f_0(i\mu) > 2(a - 2rb)\log 2 + 2b(2r + 1)\log(2r + 1) - 2(a + b)\log 2 \\ &= 2b(2r + 1)\log\left(r + \frac{1}{2}\right) > b(2r + 1)\log(r^2 + r).\end{aligned}\tag{3.25}$$

Сравнивая оценки (3.24), (3.25), получаем, что  $\tilde{f}(0) > \tilde{f}(\pm x_0)$ , так что точка перевала  $\tau = i\mu$  действительно является максимумом функции  $\operatorname{Re}(f(\tau) - (a+b-1)\pi i\tau)$  на контуре  $\operatorname{Im} \tau = \mu$ . Поэтому интеграл  $J_{n,a+b-1}$  равен вкладу точки перевала  $i\mu = \eta_1$ :

$$\begin{aligned}J_{n,a+b-1} &= \frac{(2\pi)^{1/2}g(\eta_1)}{|f''(\eta_1)|^{1/2}n^{1/2}} e^{n \operatorname{Re}(f(\eta_1) - (a+b-1)\pi i\eta_1)} (1 + O(n^{-1})) \\ &= \frac{(2\pi)^{1/2}g(\eta_1)}{|f''(\eta_1)|^{1/2}n^{1/2}} e^{n \operatorname{Re} f_0(\eta_1)} (1 + O(n^{-1})),\end{aligned}\tag{3.26}$$

и аналогичная оценка справедлива для интеграла от модуля подынтегральной функции:

$$\int_{i\mu-\infty}^{i\mu+\infty} |e^{n(f(\tau) - (a+b-1)\pi i\tau)} g(\tau)| d\tau = \frac{(2\pi)^{1/2}|g(\eta_1)|}{|f''(\eta_1)|^{1/2}n^{1/2}} e^{n \operatorname{Re} f_0(\eta_1)} (1 + O(n^{-1})).\tag{3.27}$$

Для интегралов (3.20) с  $k < a + b - 1$  воспользуемся на контуре  $\operatorname{Im} \tau = \mu$  соотношением

$$|e^{n(f(\tau) - k\pi i\tau)} g(\tau)| = |e^{n(f(\tau) - (a+b-1)\pi i\tau)} g(\tau)| \cdot e^{-(a+b-1-k)n\mu},$$

откуда в соответствии с (3.27), (3.26)

$$|J_{n,k}| \leq C e^{-(a+b-1-k)n\mu} |J_{n,a+b-1}|, \quad k = 0, \pm 1, \dots, \pm(a + b - 1),\tag{3.28}$$

с некоторой постоянной  $C > 0$ , не зависящей от  $n, k$ . (Неравенство (3.28) получается при интегрировании вдоль конечного отрезка, скажем  $[i\mu - 1, i\mu + 1]$ , поскольку вклад интеграла по оставшейся бесконечной части экспоненциально мал по сравнению с вкладом точки  $i\mu$ .) Подставляя теперь полученные оценки (3.26), (3.28) в равенства (3.19), получаем (3.18). Лемма доказана.

**ПРЕДЛОЖЕНИЕ 3.2.** *Пусть  $a, b, r$  – целые положительные числа,  $a, b$  нечетны,  $a > 2rb$ , и вещественный корень  $\mu_1 \in (2r + 1, +\infty)$  многочлена (2.21) удовлетворяет условию (2.61), а минимальный по абсолютной величине нечетный корень  $\eta_1 \in (0, +\infty)$  – условию (3.17). Тогда для коэффициентов  $\bar{A}_s$  линейных форм (1.5) справедлива асимптотическая формула*

$$\overline{\lim}_{n \rightarrow \infty} \frac{\log |\bar{A}_s|}{n} \leq \log \frac{2^{2(a-2rb)} |\eta_1 + 2r + 1|^{b(2r+1)} - |\eta_1 + 2r + 1|^{b(2r+1)}}{|\eta_1 + 1|^{a+b} |\eta_1 - 1|^{a+b}}, \quad (3.29)$$

где  $s = 0$  или  $s = b + 1, \dots, a + b - 1$  нечетно, причем в случае  $s = a + b - 1$  верхний предел можно заменить на обычный и неравенство – на равенство.

**ДОКАЗАТЕЛЬСТВО.** Предельное соотношение

$$\lim_{n \rightarrow \infty} \frac{\log |\bar{A}_{a+b-1}|}{n} = \operatorname{Re} f_0(\eta_1)$$

вытекает из формулы (3.8) при  $m = (a - 1)/2$ , лемм 3.3 и 3.4. Для остальных нечетных  $s, b < s < a + b - 1$ , оценки (3.29) следуют из лемм 3.1, 3.3, 3.4. В случае  $s = 0$  согласно (1.5) имеем

$$|\bar{A}_0| \leq |I| + \sum_{\substack{s \text{ нечетно} \\ b < s < a+b}} |\bar{A}_s| \zeta(s),$$

откуда

$$\overline{\lim}_{n \rightarrow \infty} \frac{\log |\bar{A}_0|}{n} \leq \max\{\operatorname{Re} f_0(\tau_0), \operatorname{Re} f_0(\eta_1)\}, \quad (3.30)$$

где корень  $\tau_0$  многочлена (2.21) определен в предложении 2.3. По лемме 2.10 выполнено  $\operatorname{Re} f_0(\tau_0) < \operatorname{Re} f_0(\mu_1)$ , а неравенство  $\operatorname{Re} f_0(\mu_1) < \operatorname{Re} f_0(\eta_1)$  (и даже более сильное) было доказано в лемме 3.4. Поэтому максимум в правой части (3.30) равен  $\operatorname{Re} f_0(\eta_1)$ . Предложение доказано.

**ЗАМЕЧАНИЕ 3.1.** Оценки (3.29) столь незначительно улучшают оценки (3.1), что в приложениях к доказательству теорем 0.3, 0.4 мы их не используем. Однако тот факт, что асимптотика как линейных форм, так и их коэффициентов определяется значениями одной и той же функции  $\operatorname{Re} f_0(\tau)$  на разных корнях одного и того же многочлена (2.21), является ожидаемым и отражает естественную природу вещей. (В случае четного  $a$  асимптотика коэффициентов линейных форм (1.5) определяется корнем  $\eta_0 = 0$  многочлена (2.21) согласно предложению 3.1.)

#### § 4. Уточненные оценки знаменателей линейных форм

Асимптотика знаменателей линейных форм (1.2) при  $n \rightarrow \infty$ , полученная в лемме 1.4, грубовата, хотя ее хватает для доказательства теоремы Ривоаля. Уточнение знаменателей опирается на следующее обобщение леммы 1.2.

**ЛЕММА 4.1.** *Пусть для некоторого многочлена  $P(t)$ ,  $\deg P(t) < m(n + 1)$ , рациональная функция*

$$R(t) = \frac{P(t)}{((t + s)(t + s + 1) \cdots (t + s + n))^m}$$

(в не обязательно несократимом представлении) удовлетворяет условиям

$$\frac{D_n^j}{j!} \frac{d^j}{dt^j} (R(t)(t+k)^m) \Big|_{t=-k} \in \mathbb{Z}, \quad (4.1)$$

$$k = s, s+1, \dots, s+n, \quad j = 0, 1, \dots, m-1,$$

где  $D_n$  – наименьшее общее кратное чисел  $1, 2, \dots, n$ . Тогда для всех целых неотрицательных  $j$  выполнено

$$\frac{D_n^j}{j!} \frac{d^j}{dt^j} (R(t)(t+k)^m) \Big|_{t=-k} \in \mathbb{Z}, \quad k = s, s+1, \dots, s+n. \quad (4.2)$$

**ДОКАЗАТЕЛЬСТВО.** Для целых  $j = 0, 1, \dots, m-1$  включения (4.2) вытекают непосредственно из (4.1). Поэтому далее рассматриваем целое  $j \geq m$ .

Разложение рациональной функции  $R(t)$  на простейшие дроби имеет вид

$$R(t) = \sum_{l=s}^{s+n} \left( \frac{B_{l,0}}{(t+l)^m} + \frac{B_{l,1}}{(t+l)^{m-1}} + \dots + \frac{B_{l,m-2}}{(t+l)^2} + \frac{B_{l,m-1}}{t+l} \right), \quad (4.3)$$

где

$$B_{k,j} = \frac{1}{j!} \frac{d^j}{dt^j} (R(t)(t+k)^m) \Big|_{t=-k}, \quad k = s, s+1, \dots, s+n, \quad j = 0, 1, \dots, m-1.$$

Согласно линейности операции дифференцирования, представлению (4.3) и включениям (4.1) достаточно показать, что

$$\frac{D_n^{j-q}}{j!} \frac{d^j}{dt^j} \left( (t+k)^m \frac{1}{(t+l)^{m-q}} \right) \Big|_{t=-k} \in \mathbb{Z}, \quad (4.4)$$

$$q = 0, 1, \dots, m-1, \quad k, l = 0, \pm 1, \dots, \pm n.$$

Имеем

$$(t+k)^m \frac{1}{(t+l)^{m-q}} = \frac{((t+l)-(l-k))^m}{(t+l)^{m-q}} = \sum_{p=0}^m (-1)^p \binom{m}{p} \frac{(t+l)^{m-p}(l-k)^p}{(t+l)^{m-q}}$$

$$= \sum_{p=0}^m (-1)^p \binom{m}{p} (l-k)^p (t+l)^{q-p},$$

$$q = 0, 1, \dots, m-1, \quad k, l = 0, \pm 1, \dots, \pm n,$$

откуда для целого  $j \geq m$

$$\begin{aligned} & \frac{1}{j!} \frac{d^j}{dt^j} \left( (t+k)^m \frac{1}{(t+l)^{m-q}} \right) \Big|_{t=-k} \\ &= \left( \sum_{p=0}^m (-1)^p \binom{m}{p} \frac{(q-p)(q-p-1)\cdots(q-p-j+1)}{j!} \right. \\ & \quad \times (l-k)^p (t+l)^{q-p-j} \Bigg) \Big|_{t=-k} \\ &= \frac{1}{(l-k)^{j-q}} \sum_{p=0}^m (-1)^{p+j} \binom{m}{p} \frac{(p-q)_j}{j!} \end{aligned} \quad (4.5)$$

в случае  $l \neq k$  и

$$\frac{1}{j!} \frac{d^j}{dt^j} \left( (t+k)^m \frac{1}{(t+l)^{m-q}} \right) = 0$$

в случае  $l = k$ . Поскольку

$$\frac{D_n^{j-q}}{(l-k)^{j-q}} \in \mathbb{Z} \quad \text{и} \quad \binom{m}{p} \frac{(p-q)_j}{j!} \in \mathbb{Z},$$

$$q = 0, 1, \dots, m-1, \quad p = 0, 1, \dots, m, \quad k, l = 0, \pm 1, \dots, \pm n, \quad k \neq l,$$

из соотношений (4.5) вытекают включения (4.4). Лемма доказана.

Следующее утверждение, предваряющее изложение общего случая, усиливает включения (1.17).

**ЛЕММА 4.2.** *Обозначим через  $\mathcal{E} = \mathcal{E}_{n,m}$  множество простых чисел, делящих каждое из чисел*

$$B_{k,0} = (F(t)(t+k)^2) \Big|_{t=-k} = \frac{(m+2n \pm k)!}{(m \pm k)! (n \pm k)!^2}, \quad k = 0, \pm 1, \dots, \pm n,$$

где функция  $F(t)$  определена в (1.15). Положим

$$\Pi = \Pi_{n,m} = \prod_{\substack{p \in \mathcal{E} \\ \sqrt{m+3n} < p \leq 2n}} p. \quad (4.6)$$

Тогда для всех целых неотрицательных  $j$  выполнено

$$\Pi^{-1} \frac{D_{2n}^j}{j!} \frac{d^j}{dt^j} (F(t)(t+k)^2) \Big|_{t=-k} \in \mathbb{Z}, \quad k = 0, \pm 1, \dots, \pm n. \quad (4.7)$$

**ДОКАЗАТЕЛЬСТВО.** Тот факт, что  $\Pi^{-1} B_{k,0} \in \mathbb{Z}$ ,  $k = 0, \pm 1, \dots, \pm n$  (включения (4.7) при  $j = 0$ ), следует из определения множества  $\mathcal{E}$  и числа  $\Pi$ . Проверим включения (4.7) при  $j = 1$ . Имеем

$$\begin{aligned} B_{k,1} &= \frac{d}{dt} (F(t)(t+k)^2) \Big|_{t=-k} \\ &= B_{k,0} \left( \sum_{l=m+1}^{m+2n} \left( \frac{1}{t+l} + \frac{1}{t-l} \right) - 2 \sum_{\substack{l=-n \\ l \neq k}}^n \frac{1}{t+l} \right) \Big|_{t=-k} \\ &= B_{k,0} \left( \sum_{l=m+1}^{m+2n} \left( \frac{1}{l-k} - \frac{1}{l+k} \right) - 2 \sum_{\substack{l=-n \\ l \neq k}}^n \frac{1}{l-k} \right), \quad k = 0, \pm 1, \dots, \pm n. \end{aligned} \quad (4.8)$$

Согласно лемме 1.3 выполнено  $D_{2n} B_{k,1} \in \mathbb{Z}$ ,  $k = 0, \pm 1, \dots, \pm n$ , так что для  $p$ , взаимно простых с  $\Pi$ , имеем

$$\text{ord}_p(\Pi^{-1} D_{2n} B_{k,1}) = \text{ord}_p(D_{2n} B_{k,1}) \geq 0. \quad (4.9)$$

Пусть теперь простое  $p$  делит  $\Pi$  и, значит,

$$\text{ord}_p \Pi = 1. \quad (4.10)$$

Для  $p > \sqrt{m+3n}$  имеем  $\text{ord}_p(l \pm k) \leq 1$ , где  $(l \pm k)$  – любой из знаменателей в (4.8); поэтому

$$\text{ord}_p \left( \sum_{l=m+1}^{m+2n} \left( \frac{1}{l-k} - \frac{1}{l+k} \right) - 2 \sum_{\substack{l=-n \\ l \neq k}}^n \frac{1}{l-k} \right) \geq -1, \quad k = 0, \pm 1, \dots, \pm n. \quad (4.11)$$

Для  $p \leq 2n$  выполнено

$$\text{ord}_p D_{2n} \geq 1; \quad (4.12)$$

наконец, для  $p \in \mathcal{E}$

$$\text{ord}_p B_{k,0} \geq 1, \quad k = 0, \pm 1, \dots, \pm n. \quad (4.13)$$

Собирая оценки (4.10)–(4.13), с учетом (4.8) в случае  $p$ , делящего  $\Pi$ , получаем

$$\text{ord}_p(\Pi^{-1} D_{2n} B_{k,1}) \geq 0. \quad (4.14)$$

Согласно (4.9) и (4.14) выполнено  $\Pi^{-1} D_{2n} B_{k,1} \in \mathbb{Z}$ ,  $k = 0, \pm 1, \dots, \pm n$ , что доказывает включения (4.7) при  $j = 1$ . В случае  $j \geq 2$  остается воспользоваться леммой 4.1 с  $m = 2$ .

Отметим, что в условиях леммы 4.2 для любого простого  $p > \sqrt{m+3n}$  имеем

$$\text{ord}_p B_{k,0} = \left\lfloor \frac{m+2n}{p} \pm \frac{k}{p} \right\rfloor - \left\lfloor \frac{m}{p} \pm \frac{k}{p} \right\rfloor - 2 \left\lfloor \frac{n}{p} \pm \frac{k}{p} \right\rfloor, \quad k = 0, \pm 1, \dots, \pm n, \quad (4.15)$$

поскольку

$$\text{ord}_p q! = \left\lfloor \frac{q}{p} \right\rfloor + \left\lfloor \frac{q}{p^2} \right\rfloor + \left\lfloor \frac{q}{p^3} \right\rfloor + \dots, \quad q = 1, 2, \dots, \quad (4.16)$$

где  $\lfloor \cdot \rfloor$  обозначает целую часть числа. Формулы (4.15) позволяют вычислять асимптотику множителя (4.6) при  $n, m \rightarrow \infty$ , так как

$$\{p \in \mathcal{E} : p > \sqrt{m+3n}\} = \left\{ p > \sqrt{m+3n} : \min_{k=0, \pm 1, \dots, \pm n} \{\text{ord}_p B_{k,0}\} \geq 1 \right\}. \quad (4.17)$$

В качестве примера рассмотрим самую простую версию функции (1.15) при  $m = n$ .

**ЛЕММА 4.3.** *Справедливо предельное соотношение*

$$\varpi_1 = \lim_{n \rightarrow \infty} \frac{\log \Pi_{n,n}}{n} = \psi\left(\frac{1}{2}\right) - \psi\left(\frac{1}{3}\right) + \psi(1) - \psi\left(\frac{5}{6}\right) - 1 \approx 0.4820, \quad (4.18)$$

где  $\psi(x) = \Gamma'(x)/\Gamma(x)$  – логарифмическая производная гамма-функции.

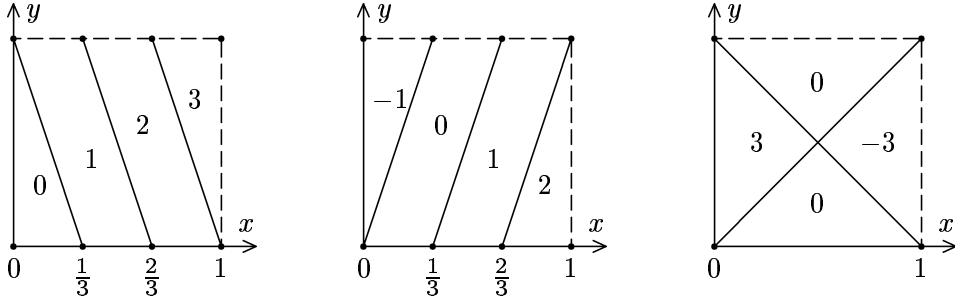


Рис. 9. Значения функций  $[3x+y]$ ,  $[3x-y]$  и  $-3([x+y] + [x-y])$  внутри единичного квадрата

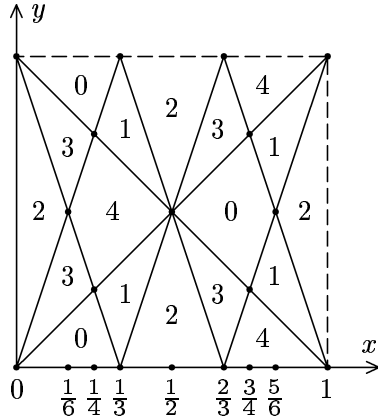


Рис. 10. Значения функции  $\varphi_1(x, y)$  внутри единичного квадрата

**ДОКАЗАТЕЛЬСТВО.** Согласно (4.15) в случае  $m = n$  и  $p > 2\sqrt{n}$  имеем

$$\min_{k=0, \pm 1, \dots, \pm n} \{\text{ord}_p B_{k,0}\} = \min_{|k/p| \leq |n/p|} \varphi_1\left(\frac{n}{p}, \frac{k}{p}\right), \quad (4.19)$$

где

$$\varphi_1(x, y) = [3x+y] + [3x-y] - 3[x+y] - 3[x-y]. \quad (4.20)$$

Как несложно заметить, функция (4.20) периодична (с периодом 1) по каждому аргументу:

$$\varphi_1(x, y) = \varphi_1(\{x\}, \{y\}), \quad \{x\} = x - [x];$$

поэтому достаточно вычислить значения этой функции внутри единичного квадрата. Согласно определению целой части числа слагаемые в правой части (4.20) меняют значения только при переходе через прямые  $3x \pm y = \text{const} \in \mathbb{Z}$  и  $x \pm y = \text{const} \in \mathbb{Z}$  (см. рис. 9), откуда получаем значения функции  $\varphi_1(x, y)$  (рис. 10).

Проведем перпендикуляры к оси  $x$  через точки пересечения прямых, указанных на рис. 10. Тогда

$$\min_{|y| \leq x} \varphi_1(x, y) = \min_{0 \leq y \leq 1} \varphi_1(\{x\}, y) = \begin{cases} 1, & \text{если } \{x\} \in E_1 = \left[\frac{1}{3}, \frac{1}{2}\right) \cup \left[\frac{5}{6}, 1\right), \\ 0 & \text{иначе.} \end{cases} \quad (4.21)$$

Согласно (4.17) и (4.19) из (4.21) следует, что

$$\{p \in \mathcal{E}_{n,n} : p > 2\sqrt{n}\} = \left\{ p > 2\sqrt{n} : \left\{ \frac{n}{p} \right\} \in E_1 \right\}$$

и, следовательно,

$$\Pi_{n,n} = \prod_{\substack{p: \{n/p\} \in E_1 \\ 2\sqrt{n} < p \leq 2n}} p = \prod_{\substack{p: \{n/p\} \in E_1 \\ p > 2\sqrt{n}}} p / \prod_{2n < p \leq 3n} p. \quad (4.22)$$

Для знаменателя в правой части (4.22) имеем

$$\prod_{2n < p \leq 3n} p = \frac{D_{3n}}{D_{2n}}; \quad (4.23)$$

асимптотика числителя находится с помощью следующего утверждения (ср. с [25, теорема 4.3 и § 6], [26, лемма 3.2]).

**ЛЕММА 4.4.** Для любого  $C > 1$  и любого полуинтервала  $[u, v) \subset (0, 1)$  имеет место предельное соотношение

$$\lim_{n \rightarrow \infty} \frac{1}{n} \sum_{\substack{p > \sqrt{Cn} \\ \{n/p\} \in [u, v)}} \log p = \psi(v) - \psi(u).$$

С помощью леммы 4.4 и соотношений (4.22), (4.23), (1.24) получаем требуемую асимптотику (4.18). Лемма 4.3 доказана.

**ЗАМЕЧАНИЕ 4.1.** И без того несложное вычисление величины (4.21) можно вчетверо упростить. Как легко проверить, функция (4.20), помимо периодичности, инвариантна относительно преобразований

$$\vartheta_1: (x, y) \mapsto \left( x + \frac{1}{2}, y + \frac{1}{2} \right), \quad \vartheta_2: (x, y) \mapsto (x, 1 - y) \quad (4.24)$$

(последнее отображение использует нечетность  $\varphi_1(x, y)$  по аргументу  $y$  и сдвиг на 1). Поэтому значения функции (4.20) достаточно найти на квадрате  $0 \leq x, y < \frac{1}{2}$ , а затем с помощью преобразований  $\vartheta_1, \vartheta_1 \circ \vartheta_2, \vartheta_2$  распространить найденное на единичный куб и по периодичности на всю плоскость  $\mathbb{R}^2$ .

В качестве следующего объекта исследования рассмотрим рациональную функцию

$$G(t) = G_n(t) := \frac{(t \pm (n+1)) \cdots (t \pm (n+2rn))}{(t(t \pm 1) \cdots (t \pm n))^{2r}}, \quad (4.25)$$

которая согласно лемме 1.3 и правилу Лейбница дифференцирования произведения удовлетворяет соотношениям

$$\frac{D_{2n}^j}{j!} \frac{d^j}{dt^j} (G(t)(t+k)^{2r}) \Big|_{t=-k} \in \mathbb{Z}, \quad k = 0, \pm 1, \dots, \pm n, \quad j = 0, 1, 2, \dots \quad (4.26)$$

**ЛЕММА 4.5.** Для каждого целого  $r \geq 1$  существует последовательность целых  $\Pi_n = \Pi_n^{(r)} \geq 1$ ,  $n = 1, 2, \dots$ , такая, что для всех целых неотрицательных  $j$  выполнено

$$\Pi_n^{-1} \frac{D_{2n}^j}{j!} \frac{d^j}{dt^j} (G(t)(t+k)^{2r}) \Big|_{t=-k} \in \mathbb{Z}, \quad k = 0, \pm 1, \dots, \pm n, \quad (4.27)$$

и справедливо предельное соотношение

$$\varpi_r = \lim_{n \rightarrow \infty} \frac{\log \Pi_n^{(r)}}{n} = -2 \sum_{l=1}^r \left( \psi\left(\frac{l}{r}\right) + \psi\left(\frac{l}{r+1/2}\right) \right) - (4r+1) \sum_{l=1}^r \frac{1}{l} - 4r\gamma + 4r, \quad (4.28)$$

где  $\gamma \approx 0.57712$  – постоянная Эйлера.

**ДОКАЗАТЕЛЬСТВО.** Для  $n \leq 2r$  положим  $\Pi_n = 1$ ; тогда включения (4.27) следуют из (4.26), а на предел в (4.28) эта конечная часть последовательности никак не повлияет. Поэтому в дальнейшем будем считать  $n > 2r$ .

Для каждого простого  $p$  определим величину

$$\nu_p = \min_{k=0, \pm 1, \dots, \pm n} \left\{ \text{ord}_p \frac{((2r+1)n+k)! ((2r+1)n-k)!}{(n+k)!^{2r+1} (n-k)!^{2r+1}} \right\}; \quad (4.29)$$

положим

$$\Pi_n = \prod_{p: \sqrt{(2r+2)n} < p \leq 2n} p^{\nu_p}. \quad (4.30)$$

Фиксируя целое  $k$  из интервала  $|k| \leq n$ , рассмотрим функцию

$$G_k(t) := G(t)(t+k)^{2r} \quad (4.31)$$

и покажем, что

$$\Pi_n^{-1} \frac{D_{2n}^j}{j!} \frac{d^j G_k(t)}{dt^j} \Big|_{t=-k} \in \mathbb{Z}, \quad j = 0, 1, 2, \dots. \quad (4.32)$$

Согласно лемме 4.1 включения (4.32) достаточно доказать для  $j \leq 2r$ .

Для простых  $p$ , не делящих  $\Pi_n$ , согласно (4.26) имеем

$$\text{ord}_p \left( \Pi_n^{-1} \frac{D_{2n}^j}{j!} \frac{d^j G_k(t)}{dt^j} \Big|_{t=-k} \right) = \text{ord}_p \left( \frac{D_{2n}^j}{j!} \frac{d^j G_k(t)}{dt^j} \Big|_{t=-k} \right) \geq 0. \quad (4.33)$$

Пусть теперь простое  $p$  делит  $\Pi_n$ . Докажем индукцией по  $j = 0, 1, \dots, 2r$ , что и в этом случае

$$\text{ord}_p \left( \Pi_n^{-1} \frac{D_{2n}^j}{j!} \frac{d^j G_k(t)}{dt^j} \Big|_{t=-k} \right) \geq 0. \quad (4.34)$$

При  $j = 0$  соотношение (4.34) вытекает из определения числа  $\Pi_n$ , поскольку

$$G_k(t) \Big|_{t=-k} = \frac{((2r+1)n+k)! ((2r+1)n-k)!}{(n+k)!^{2r+1} (n-k)!^{2r+1}}.$$

Докажем (4.34) для  $j + 1$ , считая его доказанным для всех предыдущих  $j$ . Введем обозначение для логарифмической производной функции (4.31):

$$g_k(t) = \frac{G'_k(t)}{G_k(t)} = \sum_{\substack{l=-(2r+1)n \\ l \neq k}}^{(2r+1)n} \frac{1}{t+l} - (2r+1) \sum_{\substack{l=-n \\ l \neq k}}^n \frac{1}{t+l}.$$

Тогда

$$\begin{aligned} \frac{1}{(j+1)!} \frac{d^{j+1} G_k(t)}{dt^{j+1}} &= \frac{1}{(j+1)!} \frac{d^j}{dt^j} (g_k(t) G_k(t)) \\ &= \frac{1}{j+1} \sum_{m=0}^j \frac{1}{(j-m)!} \frac{d^{j-m} g_k(t)}{dt^{j-m}} \cdot \frac{1}{m!} \frac{d^m G_k(t)}{dt^m}. \end{aligned} \quad (4.35)$$

Имеем

$$\text{ord}_p \frac{1}{j+1} = 0, \quad (4.36)$$

так как  $p > \sqrt{(2r+2)n} > 2r+1 \geq j+1$ ; далее, для  $m < j$

$$\begin{aligned} \text{ord}_p \left( \frac{1}{(j-m)!} \frac{d^{j-m} g_k(t)}{dt^{j-m}} \Big|_{t=-k} \right) \\ = \text{ord}_p \left( \sum_{\substack{l=-(2r+1)n \\ l \neq k}}^{(2r+1)n} \frac{(-1)^{j-m}}{(l-k)^{j-m+1}} - (2r+1) \sum_{\substack{l=-n \\ l \neq k}}^n \frac{(-1)^{j-m}}{(l-k)^{j-m+1}} \right) \\ \geq -(j-m+1), \end{aligned} \quad (4.37)$$

поскольку  $p > \sqrt{(2r+2)n}$  и  $|l-k| \leq (2r+2)n$  для всех знаменателей в (4.37);

$$\text{ord}_p D_{2n}^{j-m+1} \geq j-m+1, \quad (4.38)$$

так как  $p \leq 2n$ ; наконец,

$$\text{ord}_p \left( \Pi_n^{-1} \frac{D_{2n}^m}{m!} \frac{d^m G_k(t)}{dt^m} \Big|_{t=-k} \right) \geq 0 \quad (4.39)$$

по индукционному предположению. Подставляя  $t = -k$  в (4.35) и применяя оценки (4.36)–(4.39), заключаем, что соотношение (4.34) выполнено для  $j + 1$ . Тем самым, индукционный переход обоснован.

Собирая оценки (4.33) для  $p \nmid \Pi_n$  и (4.34) для  $p \mid \Pi_n$ , приходим к выводу, что включения (4.32) и (4.27) справедливы для  $j = 0, 1, \dots, 2r$ , а значит, и для всех целых неотрицательных  $j$ . Покажем, что для построенной последовательности  $\Pi_n$ ,  $n = 1, 2, \dots$ , выполнено предельное соотношение (4.28).

Для каждого целого  $n > 2r$  и простого  $p > \sqrt{(2r+2)n}$  согласно (4.29) и (4.16) выполнено

$$\nu_p = \min_{|k/p| \leq |n/p|} \varphi_r \left( \frac{n}{p}, \frac{k}{p} \right), \quad (4.40)$$

где функция

$$\varphi_r(x, y) = \lfloor (2r+1)x + y \rfloor + \lfloor (2r+1)x - y \rfloor - (2r+1)\lfloor x + y \rfloor - (2r+1)\lfloor x - y \rfloor \quad (4.41)$$

периодична (с периодом 1) по каждому аргументу. Проверим, что

$$\min_{y \in \mathbb{R}} \varphi_r(x, y) = \nu, \quad \text{если } \{x\} \in E_\nu, \quad \nu = 0, 1, \dots, 2r-1, \quad (4.42)$$

где

$$\begin{aligned} E_{2l} &= \left[ \frac{l}{2r}, \frac{l+1}{2r+1} \right) \cup \left[ \frac{1}{2} + \frac{l}{2r}, \frac{1}{2} + \frac{l+1}{2r+1} \right), \quad l = 0, 1, \dots, r-1, \\ E_{2l-1} &= \left[ \frac{l}{2r+1}, \frac{l}{2r} \right) \cup \left[ \frac{1}{2} + \frac{l}{2r+1}, \frac{1}{2} + \frac{l}{2r} \right), \quad l = 1, 2, \dots, r. \end{aligned} \quad (4.43)$$

Несложные вычисления и нечетность функции (4.41) показывают, что эта функция инвариантна относительно преобразований (4.24); поэтому для доказательства соотношений (4.42) достаточно ограничиться областью  $0 \leq y < \frac{1}{2}$ . В этой области

$$\min_{0 \leq y < 1/2} \varphi_r(x, y) = \min_{0 \leq y \leq x} \varphi_r(x, y) = \min_{0 \leq y \leq x} (\lfloor (2r+1)x + y \rfloor + \lfloor (2r+1)x - y \rfloor),$$

так как

$$-(2r+1)\lfloor x + y \rfloor - (2r+1)\lfloor x - y \rfloor = \begin{cases} 0, & \text{если } 0 \leq y \leq x < \frac{1}{2}, \\ 2r+1, & \text{если } 0 \leq x < y < \frac{1}{2}. \end{cases}$$

Для завершения доказательства соотношений (4.42) остается вычислить значения функции  $\lfloor (2r+1)x + y \rfloor + \lfloor (2r+1)x - y \rfloor$  в области  $0 \leq y \leq x < \frac{1}{2}$  (см. рис. 11) по аналогии с рассуждениями, приведенными в лемме 4.3.

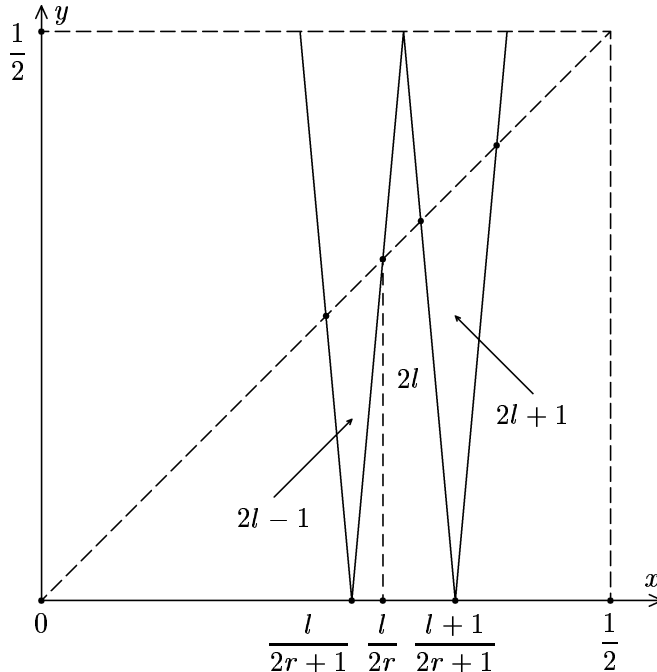


Рис. 11. Значения функции  $\varphi_r(x, y)$  в области  $0 \leq y < x < \frac{1}{2}$

Таким образом, согласно (4.30), (4.40) и (4.42), (4.43) выполнено

$$\begin{aligned} \Pi_n &= \prod_{\nu=1}^{2r-1} \prod_{\substack{p: \{n/p\} \in E_\nu \\ \sqrt{(2r+2)n} < p \leq 2n}} p^\nu \\ &= \left( \prod_{\nu=1}^{2r-1} \prod_{\substack{p: \{n/p\} \in E_\nu \\ p > \sqrt{(2r+2)n}}} p^\nu \right) \Bigg/ \left( \prod_{l=1}^{r-1} \prod_{\frac{2r+1}{l+1}n < p \leq \frac{2r}{l}n} p^{2l} \cdot \prod_{l=1}^r \prod_{\frac{2r}{l}n < p \leq \frac{2r+1}{l}n} p^{2l-1} \right), \end{aligned}$$

и для получения предельного соотношения (4.28) воспользуемся леммой 4.4, тождеством

$$\psi(x) + \psi\left(x + \frac{1}{2}\right) = -2 \log 2 + 2\psi(2x)$$

(см. далее формулу (4.47) при  $r = 2$ ) и соотношением

$$\lim_{n \rightarrow \infty} \frac{1}{n} \sum_{\alpha n < p \leq \beta n} \log p = \beta - \alpha, \quad \text{где } \alpha < \beta,$$

вытекающим из асимптотического закона распределения простых чисел. Тогда

$$\begin{aligned} \varpi_r &= \sum_{l=1}^{r-1} 2l \left( \psi\left(\frac{l+1}{2r+1}\right) - \psi\left(\frac{l}{2r}\right) + \psi\left(\frac{1}{2} + \frac{l+1}{2r+1}\right) - \psi\left(\frac{1}{2} + \frac{l}{2r}\right) \right. \\ &\quad \left. - \left( \frac{2r}{l} - \frac{2r+1}{l+1} \right) \right) \\ &\quad + \sum_{l=1}^r (2l-1) \left( \psi\left(\frac{l}{2r}\right) - \psi\left(\frac{l}{2r+1}\right) + \psi\left(\frac{1}{2} + \frac{l}{2r}\right) - \psi\left(\frac{1}{2} + \frac{l}{2r+1}\right) \right. \\ &\quad \left. - \left( \frac{2r+1}{l} - \frac{2r}{l} \right) \right) \\ &= 2 \sum_{l=1}^{r-1} 2l \left( \psi\left(\frac{l+1}{r+1/2}\right) - \psi\left(\frac{l}{r}\right) \right) + 2 \sum_{l=1}^r (2l-1) \left( \psi\left(\frac{l}{r}\right) - \psi\left(\frac{l}{r+1/2}\right) \right) \\ &\quad - \sum_{l=1}^{r-1} 2l \left( \frac{2r}{l} - \frac{2r+1}{l+1} \right) - \sum_{l=1}^r (2l-1) \left( \frac{2r+1}{l} - \frac{2r}{l} \right) \\ &= 2 \sum_{l=1}^r \psi\left(\frac{l}{r}\right) (2l-1-2l) + 4r\psi(1) + 2 \sum_{l=1}^r \psi\left(\frac{l}{r+1/2}\right) (2(l-1)-(2l-1)) \\ &\quad - \sum_{l=1}^r \frac{1}{l} (4rl - 2(l-1)(2r+1) + (2l-1)) + 4r \\ &= -2 \sum_{l=1}^r \left( \psi\left(\frac{l}{r}\right) + \psi\left(\frac{l}{r+1/2}\right) \right) - (4r+1) \sum_{l=1}^r \frac{1}{l} + 4r\psi(1) + 4r, \end{aligned}$$

и поскольку  $\psi(1) = -\gamma$  (см., например, [27, § 1.1, формула (8)]), получаем требуемое. Лемма доказана.

ЛЕММА 4.6. Для величины (4.28) справедливы оценки

$$-\log(r+1) - 4 < \varpi_r - 4r + (4r+1)\gamma < \log(r+1) + \frac{1}{r} + 2; \quad (4.44)$$

в частности,

$$\varpi_r = 4r(1-\gamma) + O(\log r) \quad \text{при } r \rightarrow \infty. \quad (4.45)$$

ДОКАЗАТЕЛЬСТВО. В силу монотонного возрастания функции  $\psi(x)$  на полуинтервале  $(0, 1]$  имеем

$$-\psi(1) + \sum_{l=1}^{r+1} \psi\left(\frac{l}{r+1}\right) < \sum_{l=1}^r \psi\left(\frac{l}{r+1/2}\right) < \sum_{l=1}^r \psi\left(\frac{l}{r}\right), \quad (4.46)$$

при этом суммы в верхней и нижней оценках находятся с помощью формулы

$$\sum_{l=1}^r \psi\left(x + \frac{l-1}{r}\right) = -r \log r + r\psi(rx) \quad (4.47)$$

(см., например, [27, § 1.1, формула (6)]).

Согласно неравенству (2.28) последовательность

$$1 + \frac{1}{2} + \frac{1}{3} + \cdots + \frac{1}{r} - \log r$$

убывает, а последовательность

$$1 + \frac{1}{2} + \frac{1}{3} + \cdots + \frac{1}{r} - \log(r+1)$$

возрастает; поэтому их общий предел  $\gamma$  заключен между элементами этих последовательностей, т.е.

$$\log r < \sum_{l=1}^r \frac{1}{l} - \gamma < \log(r+1). \quad (4.48)$$

Подставляя полученные оценки (4.46)–(4.48) в (4.28), находим

$$-4r \log \frac{r+1}{r} - \log(r+1) < \varpi_r - 4r + (4r+1)\gamma < (2r+1) \log \frac{r+1}{r} + \log(r+1)$$

и для завершения доказательства оценок (4.44) вновь воспользуемся неравенством (2.28). Предельное соотношение (4.45) вытекает непосредственно из (4.44). Лемма доказана.

ПРЕДЛОЖЕНИЕ 4.1. Знаменатель  $\text{den}(I_n)$  линейной формы (1.5) является делителем числа  $\Pi_n^{-b} D_{2n}^{a+b-1}$ , где последовательность целых чисел  $\Pi_n = \Pi_n^{(r)}$ ,  $n = 1, 2, \dots$ , определена в лемме 4.5. Таким образом,

$$\overline{\lim}_{n \rightarrow \infty} \frac{\log \text{den}(I_n)}{n} \leqslant \lim_{n \rightarrow \infty} \frac{\log D_{2n}^{a+b-1} - b \log \Pi_n}{n} = 2(a+b-1) - b\varpi_r.$$

ДОКАЗАТЕЛЬСТВО полностью повторяет доказательство леммы 1.4 с заменой представления (1.22) на

$$R(t) = H_n(t)^{a-2rb} G_n(t)^b,$$

с применением лемм 1.3, 4.5 для функций (1.16), (4.25) и правила Лейбница дифференцирования произведения. Предложение доказано.

В заключение этого параграфа приведем несколько частных значений величины (4.28) (при  $r = 1$  см. формулу (4.18)):

$$\begin{aligned}\varpi_2 &\approx 2.01561, \quad \varpi_3 \approx 3.64442, \quad \varpi_{10} \approx 15.38202, \quad \varpi_{50} \approx 82.98948, \\ \varpi_{100} &\approx 1.67541 \cdot 100, \quad \varpi_{1000} \approx 1.68956 \cdot 1000, \quad \varpi_r \approx 4(1 - \gamma)r \approx 1.69114r.\end{aligned}$$

## § 5. Доказательство результатов о линейной независимости

Следующая теорема опирается на результаты, полученные в § 2 и § 4.

ТЕОРЕМА 5.1. Пусть выполнены условия предложения 2.3,  $b$  нечетно и, кроме того,

$$\varkappa + 2(a + b - 1) - b\varpi_r < 0,$$

тогда

$$\varpi_r = -2 \sum_{l=1}^r \left( \psi\left(\frac{l}{r}\right) + \psi\left(\frac{l}{r+1/2}\right) \right) - (4r+1) \sum_{l=1}^r \frac{1}{l} - 4r\gamma + 4r.$$

Тогда среди чисел

$$\zeta(b+2), \zeta(b+4), \dots, \zeta(a+b-1) \tag{5.1}$$

по крайней мере одно иррационально.

ДОКАЗАТЕЛЬСТВО. Согласно лемме 1.1 для любого целого  $n \geq 1$  величина (1.2) является линейной формой от 1 и чисел (5.1). Предполагая рациональность каждого из чисел (5.1) и обозначая их наименьший общий знаменатель через  $D$ , получаем, что  $J_n = D|I_n|\operatorname{den}(I_n)$  является целым положительным числом для бесконечной последовательности индексов  $n \geq 1$ . Это противоречит предельному соотношению

$$\overline{\lim}_{n \rightarrow \infty} \frac{\log J_n}{n} \leq \varkappa + 2(a + b - 1) - b\varpi_r < 0,$$

вытекающему из предложений 2.3 и 4.1.

ДОКАЗАТЕЛЬСТВО ТЕОРЕМЫ 0.1. Применим теорему 5.1, выбирая для каждого набора подходящие  $a, b$  и  $r = 1$ . Отметим, что в любом из рассматриваемых далее случаев  $\mu_1 < 3.05$ , так что условие (2.61) выполнено.

Иррациональность по крайней мере одного числа из первого набора в (0.1) получается при выборе  $a = 19$  и  $b = 3$  в теореме 5.1. В этом случае  $\mu_1 \approx 3.04028$  и  $\tau_0 \approx 2.98027 + 0.02985i$ ,  $\operatorname{Im} f_0(\tau_0) + 3\pi \approx 0.09308 \not\equiv 0 \pmod{\pi\mathbb{Z}}$ . Поэтому оценка

$$\varkappa + 2(a + b - 1) - b\varpi_r \approx -0.72567 < 0$$

и применение теоремы 5.1 доказывают требуемое.

Для второго набора в (0.1) полагаем  $a = 33, b = 5$ . Тогда

$$\begin{aligned}\mu_1 &\approx 3.03309, \quad \tau_0 \approx 3.00783 + 0.03046i, \quad \operatorname{Im} f_0(\tau_0) + 9\pi \approx 0.14978, \\ \varkappa + 2(a+b-1) - b\varpi_r &\approx -0.76662 < 0.\end{aligned}$$

Наконец, полагая  $a = 47, b = 7$  для третьего набора в (0.1), получаем

$$\begin{aligned}\mu_1 &\approx 3.03043, \quad \tau_0 \approx 3.01730 + 0.02406i, \quad \operatorname{Im} f_0(\tau_0) + 15\pi \approx 0.16232, \\ \varkappa + 2(a+b-1) - b\varpi_r &\approx -0.82928 < 0.\end{aligned}$$

Теорема доказана.

**ДОКАЗАТЕЛЬСТВО ТЕОРЕМЫ 0.2.** Положим  $a = 7b, r = 1$  для каждого нечетного  $b \geq 3$  и обозначим через  $\tau_b$  корень соответствующего многочлена (2.21) в области  $\operatorname{Re} \tau > 0, \operatorname{Im} \tau > 0$  с максимально возможной частью  $\operatorname{Re} \tau_b$ . Отметим, что корень многочлена (2.21) на интервале  $(3, +\infty)$  совпадает с корнем многочлена

$$(\tau + 3)(\tau - 1)^8 - (\tau - 3)(\tau + 1)^8,$$

который равен  $\mu_1 \approx 3.02472$ . Так как условие (2.61) выполнено, по лемме 2.10 имеем неравенство  $\operatorname{Re} f_0(\tau_b) \leq \operatorname{Re} f_0(\mu_1)$ , откуда

$$\varkappa \leq b\varkappa_0 := b \log \frac{2^{2(a-2)}(\mu_1 + 3)^3(\mu_1 - 3)^3}{(\mu_1 + 1)^8(\mu_1 - 1)^8} \approx -15.56497b.$$

Поэтому

$$\varkappa + 2(a+b-1) - b\varpi_r < b\varkappa_0 + 16b - b\varpi_1 \approx -0.04701b < 0,$$

и для применения теоремы 5.1 остается убедиться в том, что условие (2.55) выполнено. Несложная проверка показывает, что функция

$$\begin{aligned}g_0(b) &= \operatorname{Im} f_0(\tau_b) + 3(b-2)\pi \\ &= 3b(\arg(\tau_b - 3) + \arg(-\tau_b + 3)) - 8b(\arg(\tau_b - 1) + \arg(\tau_b + 1)) + 3(b-2)\pi \\ &= 2b(3\arg(\tau_b - 3) + 8\arg(\tau_b - 1) - 16\arg(\tau_b + 1))\end{aligned}$$

как функция от  $b \geq 3$  возрастает, откуда следует, что  $g_0(b) \geq g_0(3) \approx 0.05935 > 0$ . Кроме того, соотношения

$$\arg(-\tau_b + 3) \sim \frac{b-2}{b}\pi, \quad |-\tau_b + 3| \sim |\mu_1 - 3| \quad \text{при } b \rightarrow \infty, \quad b \text{ нечетно},$$

позволяют вычислить предел

$$\lim_{\substack{b \rightarrow \infty \\ b \text{ нечетно}}} g_0(b) < \pi.$$

Следовательно,  $\operatorname{Im} f_0(\tau_b) \not\equiv 0 \pmod{\pi\mathbb{Z}}$  и применение теоремы 5.1 завершает доказательство теоремы.

**ДОКАЗАТЕЛЬСТВО ТЕОРЕМЫ 0.3.** В соответствии с леммой 1.1 и предложением 4.1 для  $b = 1$  построенные в (1.2) величины  $\tilde{I}_n(a, r) = I_n D_{2n}^a / \Pi_n^{(r)}$  являются линейными формами от чисел  $1, \zeta(3), \zeta(5), \dots, \zeta(a)$  с целыми коэффициентами. Согласно предложениям 2.1, 3.1, 4.1 значения  $\alpha, \beta$  в критерии линейной независимости (см. введение) определяются как

$$\begin{aligned}\alpha(a, r) &= -\varkappa(a, r) - 2a + \varpi_r, \\ \beta(a, r) &= 2(2r+1) \log(2r+1) + 2(a-2r) \log 2 + 2a - \varpi_r,\end{aligned}\tag{5.2}$$

где величина  $\varkappa = \varkappa(a, r)$  задается соотношением (2.59). При  $a = 145, r = 10$  и  $a = 1971, r = 65$  получаем

$$\begin{aligned}\mu_1(145, 10) - 21 &\approx 0.38013 \cdot 10^{-4}, & 1 + \frac{\alpha(145, 10)}{\beta(145, 10)} &\approx 2.000397, \\ \mu_1(1971, 65) - 131 &\approx 0.22019 \cdot 10^{-10}, & 1 + \frac{\alpha(1971, 65)}{\beta(1971, 65)} &\approx 3.000103,\end{aligned}$$

где  $\mu_1(a, r)$  – вещественный корень многочлена (2.21) на интервале  $(2r+1, +\infty)$  при  $b = 1$ . Из критерия линейной независимости заключаем, что

$$\delta(145) \geq 3, \quad \delta(1971) \geq 4,\tag{5.3}$$

поскольку размерность пространства является целым числом. Кроме того, по теореме Апери  $\delta(3) = 2$ . Из полученных оценок вытекает утверждение теоремы.

**ЛЕММА 5.1.** *Пусть целые положительные  $a, r$  удовлетворяют условиям*

$$a > 2(r+2) \log(r+1) + 1\tag{5.4}$$

и  $\mu_1 = \mu_1(a, r)$  – вещественный корень многочлена

$$h(\tau) = (\tau + 2r + 1)(\tau - 1)^{a+1} - (\tau - 2r - 1)(\tau + 1)^{a+1}\tag{5.5}$$

на интервале  $(2r+1, +\infty)$ . Тогда

$$0 < \mu_1 - (2r+1) < 2\varepsilon, \quad \text{где } \varepsilon := \frac{2r+1}{(r+1)^2} < 1.\tag{5.6}$$

**ДОКАЗАТЕЛЬСТВО.** Непосредственные вычисления показывают, что

$$h(2r+1) = 2^{a+2}(r+1)r^{a+1} > 0,\tag{5.7}$$

$$h(2r+1+2\varepsilon) = 2^{a+2}((2r+1+\varepsilon)(r+\varepsilon)^{a+1} - \varepsilon(r+1+\varepsilon)^{a+1}).\tag{5.8}$$

Ввиду (5.4) имеем

$$(r+1+\varepsilon)^{a-1} > (r+\varepsilon)^{a+1},\tag{5.9}$$

так как

$$\begin{aligned}
 & (a-1)\log(r+1+\varepsilon) - (a+1)\log(r+\varepsilon) \\
 &= (a-1)\log\left(1 + \frac{1}{r+\varepsilon}\right) - 2\log(r+\varepsilon) \\
 &> (a-1)\log\left(1 + \frac{1}{r+1}\right) - 2\log(r+1) \\
 &> \frac{a-1}{r+2} - 2\log(r+1) = \frac{a-1 - 2(r+2)\log(r+1)}{r+2} > 0.
 \end{aligned}$$

Кроме того,

$$\begin{aligned}
 \varepsilon(r+1+\varepsilon)^2 &= \frac{(2r+1)(r+1+\varepsilon)^2}{(r+1)^2} \\
 &> \frac{(2r+1)(r+1+\varepsilon)^2}{(r+1)^2} - \frac{\varepsilon(3r^2+4r+1+2\varepsilon r+\varepsilon)}{(r+1)^2} = 2r+1+\varepsilon.
 \end{aligned} \tag{5.10}$$

Подставляя неравенства (5.9), (5.10) в (5.8), получаем, что  $h(2r+1+2\varepsilon) < 0$ . Сопоставляя полученное неравенство с (5.7), заключаем, что на интервале  $(2r+1, 2r+1+2\varepsilon)$  действительно расположен корень многочлена (5.5). Поэтому требуемая локализация (5.6) вытекает из единственности вещественного корня  $\mu_1$  на интервале  $(2r+1, +\infty)$  (лемма 2.7). Лемма доказана.

**СЛЕДСТВИЕ 5.1.** В предположениях леммы 5.1 пусть  $r > 6$ . Тогда для величины  $\varkappa = \varkappa(a, r)$  в (2.59) справедлива оценка

$$\varkappa(a, r) < 2(2r+1)\log(2r+1) - 2(a+1)(1+\log r).$$

**ДОКАЗАТЕЛЬСТВО.** Поскольку  $h(\mu_1) = 0$ , имеем

$$\varkappa = \log \frac{2^{2(a-2r)}(\mu_1 + 2r+1)^{2(2r+1)}(\mu_1 - 1)^{2(a+1)r}}{(\mu_1 + 1)^{2(a+1)(r+1)}},$$

откуда ввиду (5.6) выполнено

$$\begin{aligned}
 & \frac{\varkappa}{2} - (a-2r)\log 2 \\
 &= (2r+1)\log\left(1 + \frac{2r}{\mu_1 + 1}\right) - (a+1)r\log\left(1 + \frac{2}{\mu_1 - 1}\right) - (a-2r)\log(\mu_1 + 1) \\
 &< (2r+1)\log\left(1 + \frac{r}{r+1}\right) - \frac{(a+1)r}{r+1} - (a-2r)\log(2r+2) \\
 &= (2r+1)\log(2r+1) - (a+1)\left(\frac{r}{r+1} + \log(r+1)\right) - (a-2r)\log 2 \\
 &< (2r+1)\log(2r+1) - (a+1)(1+\log r) - (a-2r)\log 2.
 \end{aligned}$$

При этом мы воспользовались неравенством

$$\log\left(1 + \frac{2}{\mu_1 - 1}\right) > \log\left(1 + \frac{1}{r + \varepsilon}\right) > 2 \log\left(1 + \frac{1}{2r + 1}\right) > \frac{1}{r + 1}$$

(см. также (2.28) при  $n = 2r + 1$ ), справедливым для  $r > 6$ , поскольку

$$\begin{aligned} 1 + \frac{1}{r + \varepsilon} - \left(1 + \frac{1}{2r + 1}\right)^2 &= \frac{r - 4\varepsilon r - 3r + 1}{(r + \varepsilon)(2r + 1)^2} \\ &= \frac{r^3 - 5r^2 - 7r - 2}{(r + \varepsilon)(r + 1)^2(2r + 1)^2} > 0, \quad \text{если } r > 6. \end{aligned}$$

Следствие доказано.

ДОКАЗАТЕЛЬСТВО ТЕОРЕМЫ 0.4. Поскольку  $\delta(a)$  является целым числом и

$$0.395 \cdot \log 3 \approx 0.43395, \quad 0.395 \cdot \log 145 \approx 1.96581, \quad 0.395 \cdot \log 1971 \approx 2.99659,$$

из теоремы Апери и оценок (5.3) вытекает справедливость неравенства (0.2) для всех нечетных  $a < e^{4/0.395}$ , т.е.  $a < 24999$ . На самом деле, мы покажем, что для нечетных  $a \geq 20737 = 12^4 + 1$  справедлива более сильная, чем (0.2), оценка

$$\delta(a) > \frac{\log a}{\log 12}, \tag{5.11}$$

или, что то же самое,

$$\delta(12^m + 1) > m, \quad m = 4, 5, 6, \dots \tag{5.12}$$

Для каждого  $a = 12^m + 1$  выберем

$$r = \left\lfloor \frac{\log^2 12}{3} \cdot \frac{a}{\log^2 a} \right\rfloor = \left\lfloor \frac{12^m + 1}{3m^2} \right\rfloor, \quad m = 4, 5, 6, \dots,$$

и воспользуемся для оценки снизу размерности  $\delta(a)$  критерием линейной независимости, формулами (5.2), а также неравенствами леммы 4.6 и следствия 5.1:

$$\begin{aligned} \delta(a) &\geq 1 + \frac{\alpha(a, r)}{\beta(a, r)} \\ &> \frac{2(a+1)(1 + \log r) + 2(a-2r)\log 2}{2(2r+1)\log(2r+1) + 2(a-2r)\log 2 + 2a - 4r(1-\gamma) + \log(r+1) + 4 + \gamma}. \end{aligned} \tag{5.13}$$

Тогда при  $m = 4, 5, 6, 7$  оценка (5.12) следует непосредственно из (5.13):

$m$	$a = 12^m + 1$	$r = \left\lfloor \frac{a}{3m^2} \right\rfloor$	$\delta(a)$
4	20737	432	> 4.00882
5	248833	3317	> 5.15339
6	2985985	27648	> 6.35168
7	35831809	243753	> 7.58967

Для остальных значений  $m$  мы воспользуемся в неравенстве (5.13) тривиальными оценками

$$0 < \frac{r}{a} \leq \frac{1}{3m^2}, \quad \frac{2r+1}{a} \leq \frac{2}{3m^2} + \frac{1}{a} \leq \frac{2}{m^2 \log 12},$$

$$\log r \geq \log \frac{12^m}{4m^2} = m \log 12 - 2 \log 2 - 2 \log m,$$

$$\log(2r+1) \leq \log(a-1) = m \log 12.$$

Тогда

$$\delta(a) = \delta(12^m + 1) > \frac{m \log 12 - 2 \log m + 1 - \log 2 - 1/(3m^2)}{1 + \log 2 + 2/m} > \frac{m \log 12 - 2 \log m}{1 + \log 2 + 2/m}$$

и оценка (5.12) при  $m \geq 8$  вытекает из монотонного возрастания функции

$$\Delta(m) = (m \log 12 - 2 \log m) - m \left(1 + \log 2 + \frac{2}{m}\right) = m(\log 6 - 1) - 2 \log m - 2$$

и положительности ее значения  $\Delta(8) \approx 0.17519$  при  $m = 8$ . Теорема доказана.

Фактически мы доказали оценку (5.11) для всех нечетных  $a \geq 3$ , за исключением конечного множества  $12^3 + 1 = 1729 \leq a \leq 1969$ .

### Список литературы

1. Apéry R. Irrationalité de  $\zeta(2)$  et  $\zeta(3)$  // Astérisque. 1979. V. 61. P. 11–13.
2. Van der Poorten A. A proof that Euler missed... Apéry's proof of the irrationality of  $\zeta(3)$ . An informal report // Math. Intelligencer. 1978/79. V. 1. № 4. P. 195–203.
3. Beukers F. A note on the irrationality of  $\zeta(2)$  and  $\zeta(3)$  // Bull. London Math. Soc. 1979. V. 11. P. 268–272.
4. Гутник Л. А. Об иррациональности некоторых величин, содержащих  $\zeta(3)$  // УМН. 1979. Т. 34. № 3. С. 190; // Acta Arith. 1983. V. 42. № 3. P. 255–264.
5. Beukers F. Padé approximations in number theory // Lecture Notes in Math. V. 888. Berlin: Springer-Verlag, 1981. P. 90–99.
6. Beukers F. Irrationality proofs using modular forms // Astérisque. 1987. V. 147–148. P. 271–283.
7. Сорокин В. Н. Аппроксимации Эрмита–Паде для систем Никишина и иррациональность  $\zeta(3)$  // УМН. 1994. Т. 49. № 2. С. 167–168.
8. Нестеренко Ю. В. Некоторые замечания о  $\zeta(3)$  // Матем. заметки. 1996. Т. 59. № 6. С. 865–880.
9. Hata M. A new irrationality measure for  $\zeta(3)$  // Acta Arith. 2000. V. 92. № 1. P. 47–57.
10. Rhin G., Viola C. The group structure for  $\zeta(3)$  // Acta Arith. 2001. V. 97. № 3. P. 269–293.
11. Vasilyev D. V. On small linear forms for the values of the Riemann zeta-function at odd points. Preprint № 1 (558). Minsk: Nat. Acad. Sci. Belarus, Institute Math., 2001.
12. Ball K. Diophantine approximation of hypergeometric numbers. Preprint, 2000.
13. Rivoal T. La fonction zêta de Riemann prend une infinité de valeurs irrationnelles aux entiers impairs // C. R. Acad. Sci. Paris. Sér. I. Math. 2000. V. 331. № 4. P. 267–270; // <http://arXiv.org/abs/math/0008051>.
14. Rivoal T. Propriétés diophantiennes des valeurs de la fonction zêta de Riemann aux entiers impairs. Thèse de Doctorat. Caen: Univ. de Caen, 2001.
15. Ball K., Rivoal T. Irrationalité d'une infinité de valeurs de la fonction zêta aux entiers impairs // Invent. Math. 2001. V. 146. № 1. P. 193–207.
16. Нестеренко Ю. В. О линейной независимости чисел // Вестн. МГУ. Сер. 1. Математика, механика. 1985. № 1. С. 46–54.

17. Хессами Пилеруд Т. Г. Арифметические свойства значений гипергеометрических функций: Дис. . . канд. физ.-матем. наук. М.: МГУ, 1999; О линейной независимости векторов с полилогарифмическими координатами // Вестн. МГУ. Сер. 1. Математика, механика. 1999. № 6. С. 54–56.
18. Рухадзе Е. А. Оценка снизу приближения  $\ln 2$  рациональными числами // Вестн. МГУ. Сер. 1. Математика, механика. 1987. № 6. С. 25–29.
19. Зудилин В. В. Об иррациональности значений дзета-функции в нечетных точках // УМН. 2001. Т. 56. № 2. С. 215–216.
20. Никишин Е. М. Об иррациональности значений функций  $F(x, s)$  // Матем. сб. 1979. Т. 109. № 3. С. 410–417.
21. Нестеренко Ю. В. Диофантовы приближения к дзета-функции Римана // Доклад на научно-исследовательском семинаре по теории чисел (4 октября 2000 г.). М.: МГУ, 2000.
22. Ленг С. Введение в теорию модулярных форм. М.: Мир, 1979.
23. Де Брёйн Н. Г. Асимптотические методы в анализе. М.: ИЛ, 1961.
24. Yoshida M. Hypergeometric function, my love. Aspects of Math. V. E32. Wiesbaden: Vieweg, 1997.
25. Chudnovsky G. V. On the method of Thue–Siegel // Ann. of Math. (2). 1983. V. 117. № 2. P. 325–382.
26. Hata M. Legendre type polynomials and irrationality measures // J. Reine Angew. Math. 1990. V. 407. № 1. P. 99–125.
27. Люк Ю. Специальные математические функции и их аппроксимации. М.: Мир, 1980.
28. Зудилин В. В. Одно из чисел  $\zeta(5), \zeta(7), \zeta(9), \zeta(11)$  иррационально // УМН. 2001. Т. 56. № 4. С. 149–150.

Московский государственный университет  
им. М. В. Ломоносова  
*E-mail:* wadim@ips.ras.ru

Поступило в редакцию  
24.IV.2001